



KOMPENDIUM

Övningar i geomorfologi Exercises in geomorphology

Peter Jansson



Contents

1	Introduktion/Introduction	5
2	Topografiska kartor/Topographic maps	6
2.1	Dragning av höjdkurvor/Map contouring	6
2.2	Digitala kartor/Digital maps	7
3	Vittring/Weathering	9
3.1	Postglacial ytvittring/Post-glacial surface weathering	9
3.2	Inselberg/Inselberg	10
3.3	Exfoliationsdom/Exfoliation dome	10
3.4	Etsning och stripning/Etching and stripping	10
3.5	Slukhål, uvala, polje och ponor/Sinkhole, uvala, polje and ponor	11
4	Sluttningsprocesser/Slope processes	12
4.1	Skred och ravinbildning/Land slides and ravine formation	12
4.2	Bergras/Rockfall	12
4.3	Talus/Talus	13
4.4	Skred/Landslide	13
5	Fluvial landforms and processes	14
5.1	Geomorfologiska laboratoriet/Geomorphological laboratory	14
5.2	Laboration med 2,5 m laboratorieränna/laboratory with the 2.5 m laboratory flume.	14
5.3	Stor ränna/Large flume	15
5.4	Vågtank/Wave tank	16
5.5	Meandering/Meandering	18
5.6	Flätverksströmmar, anabranching och anastomoserande vattendrag/Braided, ana-branching and anasomosing rivers	18
5.7	Delta/Delta	19
5.8	Alluvialkon/Alluvial fans	19
6	Glaciale processer och landformer/Glacial processes and land forms	20
6.1	Glacial erosion och isrörelse/Glacial erosion and ice flow	20
6.2	Drumliner/Drumlins	22
6.3	De Geer-moräner/De Geer moraines	23
6.4	Dränering av glaciale sjöar/ Glacial lake drainage	24
6.5	Ändmoräner/Terminal moraines	25
6.6	Rogenmorän/Rogen moraine	26
6.7	Veikimorän/Veiki moraine	27
6.8	Glacialt landskap/Glacial landscape	28
7	Kustprocesser/Coastal processes	30
7.1	Kusttransport/Coastal transport	30
7.2	Strandlinjer/Raised beachees	31
7.3	Strandlinjer och HK/Shorelines and the highest shoreline elevation	32
8	Periglaciella processer/Periglacial processes	33
8.1	Pingo och iskilar/Pingo and ice wedges	33
8.2	Termokarst/Thermokarst	33
9	Vindprocesser/Eolian processes	34
9.1	Sanddyner/Sand dunes	34
9.2	Barkaner, stjärn och linjära dyner/Barchan, parallel, star and linear dunes	35
9.3	Yardang/Yardang	35
10	Storskalig geomorfologi/Large scale geomorphology	36
A	Ordlista/Dictionary	38

B Kompassen/The compass 42

C Grader och meter/Degrees and meters 44



Övningar i geomorfologi/Exercises in geomorphology is copyright © 2018
by Peter Jansson and available through its doi: [10.17045/sthlmuni.7263935](https://doi.org/10.17045/sthlmuni.7263935)
This work is licensed under the Creative Commons Attribution 4.0
International License. To view a copy of this license, visit
<http://creativecommons.org/licenses/by/4.0/>

Förord/Preface

The idea for making this compendium was to make sure exercises in geomorphology were collected in one place. It was also important to make sure exercise instructions were not lost because they resided on an individual computer.

I am sure the compendium will grow over time. The point of the collection of exercises is not to create a set that must be carried out at any given time but rather to be a collection where a specific subset can be provided for a specific course and purpose.

The compendium was inspired by the many colleagues and former instructors I have met and worked with over time. Some persons have contributed specific parts of the set of exercises. Bo Strömberg established the original exercise using the small flume used in the geomorphology lab (5.2). Martim Mas e Braga developed the wave tank exercise for the geomorphology lab (5.4). Karna Lidmar-Bergström provided much feedback on the manuscript and provided invaluable insights into the section on large scale geomorphology (10) that helped improve.

The shaded relief images are based on the GSD-Höjddata grid 2+ which is © Lantmäteriet (The Swedish Land survey).

1 Introduktion/Introduction

Detta kompendium innehåller övningar i geomorfologi och är tänkt att ge en bred bas i ämnet vid studier på grundnivå. Övningarna omfattar studier utomhus, i laboratorium samt digitala datorbaserade övningar. Övningarna kan utföras antingen enskilt eller i grupp. Det finns en fördel att jobba i grupp då resultaten kan diskuteras vilket ger ett mervärde i övningen.

För att kunna utföra övningarna kommer du att behöva några verktyg. Du kommer att behöva använda en kompass (Appendix B) för att mäta riktning på räfflor i berggrunden. Du kommer också att använda programvara på din egen dator för att utföra övningarna samt ha en aktiv internetuppkoppling.

I datorbaserade övningar kommer du att använda ett geografiskt informationssystem kallat QGIS. QGIS är en öppen, fri programvara som du kan ladda ned och installera på din egen dator. Jansson (2018b) ger en beskrivning av hur du använder QGIS i dessa övningar.

Med QGIS kommer du att analysera terrängformer genom att använda en terrängdatabas med 2 m upplösning. denna modell är skapad med hjälp av Lidarteknik. Artikeln av Johnson et al. (2015) ger dig bakgrund till tekniken.

Du kommer också att använda Google Earth Pro. Google Earth Pro kan du också installera på din dator. Jansson (2018a) ger en beskrivning av hur du använder Google Earth Pro i samband med övningarna.

This compendium contains exercises in geomorphology intended to provide a broad basis in the subject at the introductory level. The exercises comprises outdoor studies, laboratory studies as well as computer based studies. The exercises can be carried out individually or in a group. There is an advantage to working in a group because the results can be discussed which provide additional value to the exercises.

To execute the exercises you will need a few tools. You will need a compass (Appendix B) to measure directions of striations on bedrock. You will also use software on your own computer to execute the exercises and need an active internet connection.

In the computer based exercises you will use a Geographical Information System called QGIS. QGIS is an open, free software which you can download and install on your own computer. Jansson (2018b) provides a description of how you use QGIS in these exercises.

You will analyse land forms through QGIS by using a terrain database with 2 m resolution. This database is created using Lidar technology. The article by Johnson et al. (2015) provides background for the technique.

You will also use Google Earth Pro. Google Earth Pro can also be installed on your computer. Jansson (2018a) provides a description on how to use Google Earth Pro in conjunction with the exercises.

2 Topografiska kartor/Topographic maps

2.1 Dragning av höjdkurvor/Map contouring

De två figurerna nedan av höjdmätningar för att göra en topografisk karta. I första figuren är mätningarna slumpmässigt fördelade medan de i den andra är inhämtade i ett systematiskt mönster. Skapa din egen topografiska karta genom att för hand dra höjdkurvor med 10 m ekvidistans med utgångspunkt från höjdangivelserna. Använd blyertspenna då du kan komma att vilja revidera ditt arbete innan kartan är färdig.

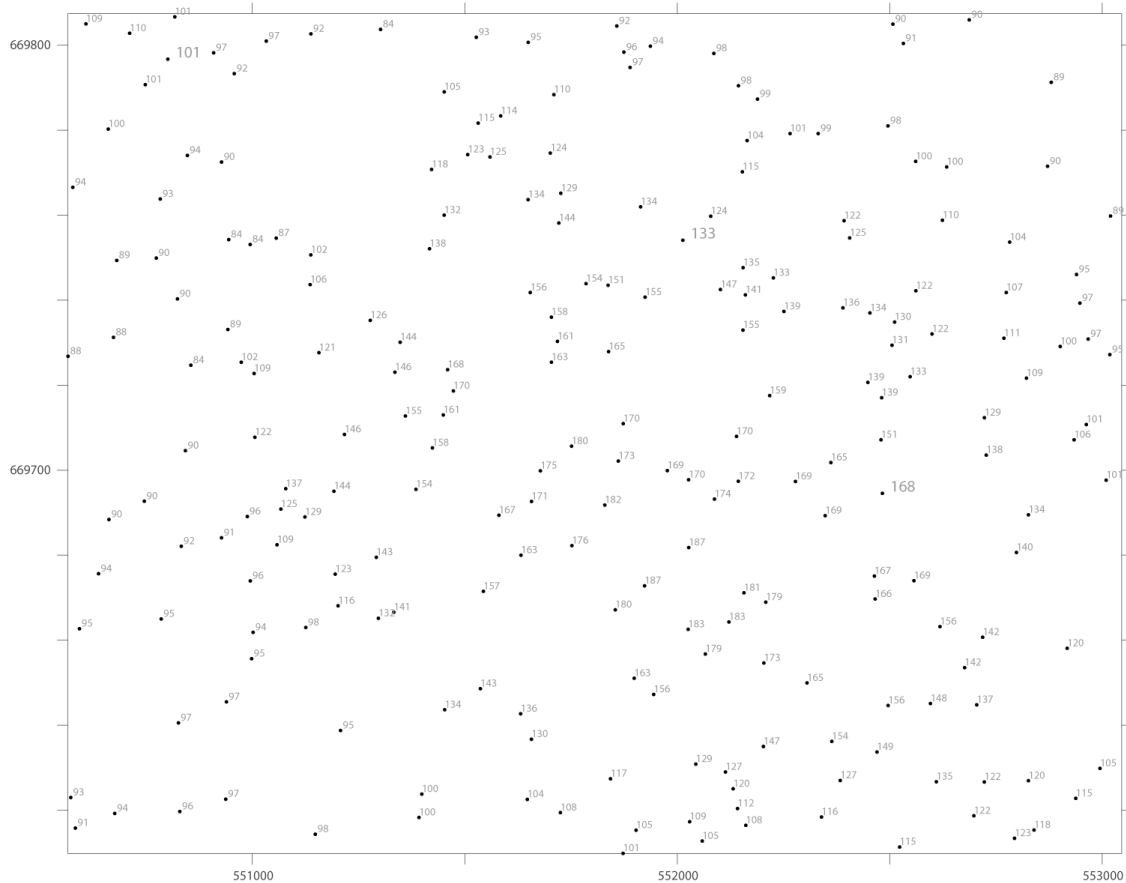
Författa en kort rapport över din kartering genom att svara på följande frågor

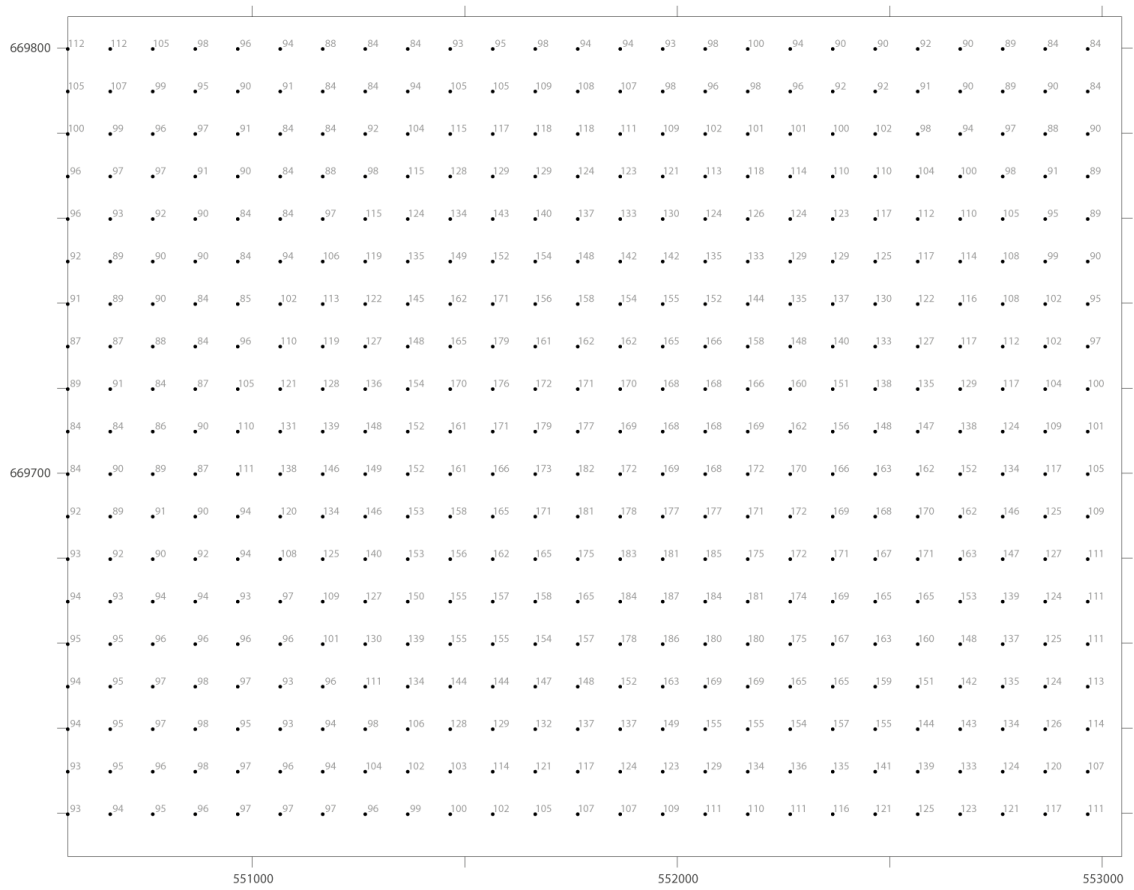
1. Hur angrep du kurvrutningen?
2. Hur gick dina tankar?
3. Vad upplevde du som svårt?
4. När du jämför kartorna, skiljer de sig?
5. Om de skiljer sig hur och varför?
6. Rita upp en höjdprofiler från båda kartorna mellan övre högra och nedre vänstra hörnet. Skiljer de sig åt? Kommentera ditt resultat

The two figures below consist of measurements for making a basic topographic map. In the first figure the measurements have been made randomly whereas they were collected in a regular grid in the second. Use the elevations listed in the figures to create your own topographic maps of the area by drawing 10 m elevation contours. Use a pencil since you may wish to revise your work before completing the map.

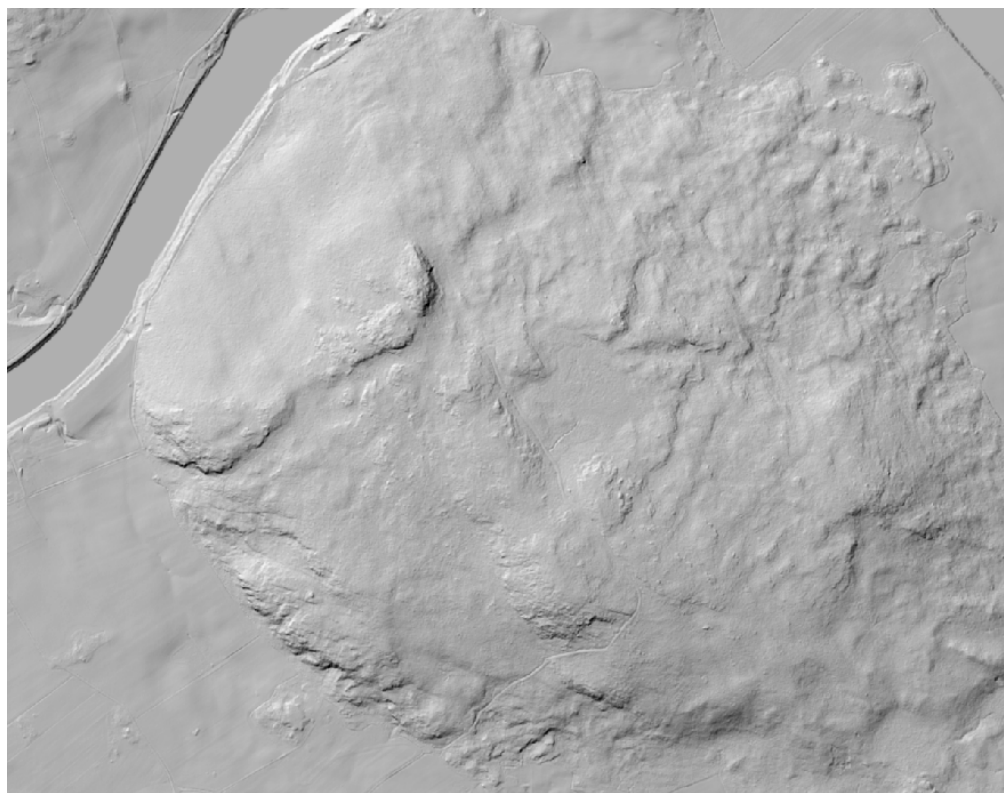
Provide a brief report on your mapping by answering the following questions

1. How did you approach the contouring?
2. What were your thoughts?
3. What did you find difficult?
4. When you compare the maps, do they differ?
5. If they do how and why?
6. Draw elevation profiles from both maps between the upper right and lower left corners. Do they differ? Comment on your results.





2.2 Digitala kartor/Digital maps



Ladda ned [Anstaberget.zip](#). Zippa upp innehållet på din dator och öppna QGIS-projektfilen

Download the [Anstaberget.zip](#) file. Unzip the content on your computer and open the QGIS

Anstaberget.qgz du hittar i foldern *Anstaberget* i QGIS. Detta kommer att visa dig en karta över det område du just karterat för hand. I nedre vänstra hörnet av QGIS ser du de lager som bygger upp kartan. Du kan tända och släcka lagren genom att klicka i boxen bredvid lagret. Notera att det finns ett lager som innehåller den topografiska kartan över området (OBS denna visar 5 m höjdkurvor) och ett lager som innehåller höjdkurvor skapade från den digitala höjdmodellen som också är del av GIS-projektet.

1. Hur jämförbara är topografiska kartans och terrängmodellens höjdkurvor jämfört med de du själv dragit i övningen ovan?
2. Vad är dina reflektioner när du jämför de olika höjdkurvdragningarna?
3. Använd profilverktyget och skapa en profil mellan övre högra och nedre vänstra hörnet samt jämför denna med dina profiler i förra övningen. Slutsats?
4. Vilken karta är bäst? motivera?

project file *Anstaberget.qgz* in the folder *Anstaberget* in QGIS. This will display a map of the area you have contoured. At the lower left of the QGIS display you will see the layers that make up this map. You can turn the layers on or off by clicking the square boxes next to each layer. Note that there is one layer that contains the topographic map of the area (Note this shows 5-m contours) and one layer that contains the elevation contours generated from the digital elevation model which is part of the GIS project.

1. How do the topographic map and elevation model contours compare to your map from the exercise above?
2. What are your reflections when comparing the different contouring?
3. Use the profile tool and create a profile between the upper right and lower left corners. Compare this profile with the profiles from the previous exercise. Conclusion?
4. Which map is best? Why?

3 Vittring/Weathering

3.1 Postglacial ytvittring/Post-glacial surface weathering

I denna övning skall vi studera ytvittring på berghällar i Frescati. Vittring är en process som kräver tid. I Sverige lever vi med isostatisk landhöjning vilket betyder att hällar nära eller vid havsytan inte utsatts för speciellt mycket ytvittring medan hällar högre upp i terrängen gradvis utsatts för mer vittring allt eftersom de varit exponerade för luften. I den här studien skall du mäta ytvittring med en s.k. *Schmidthammare*. Principen kommer att vara att graden av ytvittring ökar med höjden eftersom tiden hällarna varit exponerade för ytvittring blir längre ju högre upp i höjd vi kommer.

En Schmidthammare är en enkel apparat som i princip mäter rekylen när en fjäderbelastad vikt träffar en yta. Principen är att ju hårdare ytan är desto större blir rekylen. En vittrad yta ger lägre värden därför att ytvittringsmaterial gör ytan relativt mjukare. Graden av ytvittring kan därför ses som olika mätvärden i Schmidthammaren. Värdena kan kalibreras men vi kommer att använda dem som relativata. Matthews and Shakesby (1984) har beskrivit hur en Schmidthammare kan användas inom geomorfologin.

Mätningarna går till så att ett antal berghällar väljs ut från nära havsytan upp till högre höjd på en bergkulle. Antalet platser bör vara åtminstone 4 och väl utspridda i höjd. Registrera så noggrant du kan var varje plats är i terrängen med hjälp av en GPS så att du kan ta reda på vilken höjd över havet platsen ligger på från en karta. På varje plats görs 15 mätningar med Schmidthammaren. Anteckna alla värden. Om du vill ha säkerhetskopia kan du använda en mobilkamera och fotografera av Schmidthammarvärdena för varje mätning. Med dessa värden kan du beräkna medelvärdet för varje plats.

När mätningen i fält är klar kommer du att ha data som anger hur högt över havet varje plats ligger samt vilket medelvärde för hårdheten (relativa ytvittringsgraden) som gäller för den platsen. Du kan då skapa ett punkt-diagram i t.ex. Excel så att du på x-axeln har ytvittringsvärdet för platserna och på y-axeln har höjden över havet. Nu kan du svara på följande frågor:

In this exercise we will study surface weathering on bedrock outcrops in the Frescati area. Surface weathering is a process that requires time. In Sweden we experience isostatic uplift which means that rock outcrops at or near sea level have not been subject for much weathering whereas outcrops at higher elevations have gradually been more exposed since they have been exposed to the atmosphere for longer. In this study you will measure surface weathering with a so-called *Schmidt-hammer*. The principle will be that the degree of surface weathering increases with elevation since the time the outcrops have been exposed for surface weathering becomes longer the higher we go.

A Schmidt-hammer is a simple tool which measures the recoil of a spring-loaded weight as it impacts on a surface. The principle is that the recoil becomes larger with surface hardness. A surface weathered surface yields lower values because the surface weathering products make the surface softer. The degree of surface weathering can therefore be seen as different values on the Schmidt-hammer. The values can be calibrated but we will use them in a relative sense. Matthews and Shakesby (1984) have described how the Schmidt hammer can be used in geomorphological studies.

The measurements are carried out by selecting a number of outcrops from near sea level to the top of a hill. The number of outcrops should be at least four and well spaced in elevation. Register the coordinates for each outcrop you visit with a GPS so that you can determine its elevation from a map. Make at least 15 measurements with the Schmidt-hammer at each outcrop. Note all values in a notebook. If you want backup, you could use your mobile camera to take a picture of each of the Schmidt-hammer readings. You should then calculate the average value for each site.

When the measurement in the field is completed you will have data that shows the elevation of each outcrop and the average hardness (relative degree of surface weathering) at each site. You can now create a scatter plot in, for example, Excel so that the x-axis shows the hardness and the y-axis shows elevation. Now answer the following questions.

1. Hur ser förhållandet ut mellan ytvittrings-värde och höjd (tid)? systematiskt/ej systematiskt? Linjärt/ickelinjärt?
2. Varför ser det ut som det gör?
3. Kan du tänka dig några problem i metodiken som vi inte tagit hänsyn till?
4. Med hjälp av kunskapen att landhöjningen i Stockholm är c:a 4 mm/år och att detta värde varit relativt konstant på senare tid, konvertera platsernas höjd över havet till en ålder och skapa ett diagram över ytvittrings-värde kontra ålder.

1. What is the relationship between surface weathering and elevation (time)? Systematic/not systematic? Linear/non-linear?
2. Why does the data look the way it does?
3. Can you think of any problems in the methodology that we have not considered?
4. With the knowledge that the isostatic uplift is roughly 4 mm/yr in Stockholm and that this value is close to steady in more recent times, convert the elevations of the outcrops to an age and create a new plot with degree of surface weathering versus age.

3.2 Inselberg/Inselberg

Använd Google Earth Pro och besök bergen Uluru och Kata Tjuta i Australien.

Koordinater:

Uluru ($-25.344\ 10^\circ$, $131.034\ 31^\circ$)

Kata Tjuta ($-25.297\ 98^\circ$, $130.737\ 94^\circ$)

1. Använd profilverktyget för att titta på bergets förhållande till omgivningen. Beskriv vad du ser.
2. Sök upp artikeln skriven av Twidale and Bourne (1975). Vad ger den dig för ytterligare information om inselberg?

Use Google Earth Pro to visit Uluru and Kata Tjuta in Australia.

Coordinates:

Uluru ($-25.344\ 10^\circ$, $131.034\ 31^\circ$)

Kata Tjuta ($-25.297\ 98^\circ$, $130.737\ 94^\circ$)

1. Use the profile tool to study the relationship between the mountains and their surroundings. Describe what you see?
2. Look up the article by Twidale and Bourne (1975). What additional information on inselbergs does it provide to you?

3.3 Exfoliationsdom/Exfoliation dome

Använd Google Earth Pro och besök berget Enchanted Rock i Texas, USA.

Koordinater:

($30.505\ 677^\circ$, $-98.818\ 356^\circ$)

1. Beskriv vad du ser.
2. Sök upp artikeln av Wakasa et al. (2006). Vad säger den om exfoliationsprocessen??

Use Google Earth Pro to visit Enchanted Rock, TX, USA.

Coordinates:

($30.505\ 677^\circ$, $-98.818\ 356^\circ$)

1. Describe what you see?
2. Look up the article by Wakasa et al. (2006). What does it say about exfoliation process?

3.4 Etsning och strippning/Etching and stripping

Använd Google Earth Pro och besök Joshua Tree National Monument, CA, USA.

Koordinater:

($33.986\ 997^\circ$, $-116.013\ 734^\circ$)

1. Beskriv vad du ser. Använd fotografierna i Google Earth Pro
2. Sök upp artikeln av Strudley et al. (2006). Vad säger den om hur formationerna i Joshua Tree skapats?

Use Google Earth Pro to visit Joshua Tree National Monument, CA, USA.

Coordinates:

($33.986\ 997^\circ$, $-116.013\ 734^\circ$)

1. Describe what you see? Use the photographs in Google Earth Pro.
2. Look up the article by Strudley et al. (2006). What does this say about how the formations in Joshua Tree are produced?

3.5 Slukhål, uvala, polje och ponor/Sinkhole, uvala, polje and ponor

Använd Google Earth Pro och besök (1) Crveno Jezero i Kroatien, (2) en karstrik platå nära Konjic i Bosnien-Herzegovina och (3) Lassithi Polje på Kreta. Crveno Jezero är världens största slukhål.

Koordinater:

Crveno Jezero ($43.454\ 754^\circ$, $17.199\ 316^\circ$)

Konjic ($43.662\ 483^\circ$, $18.090\ 303^\circ$)

Lassithi Polje ($35.182\ 148^\circ$, $25.469\ 094^\circ$)

1. Beskriv vad du ser på de olika platserna.
2. Använd internet för att hitta vetenskaplig information kring hur slukhål, uvala, polje och ponor skapas. Vad har du funnit?
3. (Lassithi) Följ dräneringen som passerar bron vid punkten ($25.432\ 157^\circ$, $25.432\ 157^\circ$). Åt vilket håll sker dräneringen? Var tar vattendraget vägen?

Use Google Earth Pro to visit (1) Crveno Jezero in Croatia, (2) a karst-rich plateau near Konjic in Bosnia-Herzegovina and (3) Lassithi Polje on Crete. Crveno Jezero is the largest sinkhole in the world.

Coordinates:

Crveno Jezero ($43.454\ 754^\circ$, $17.199\ 316^\circ$)

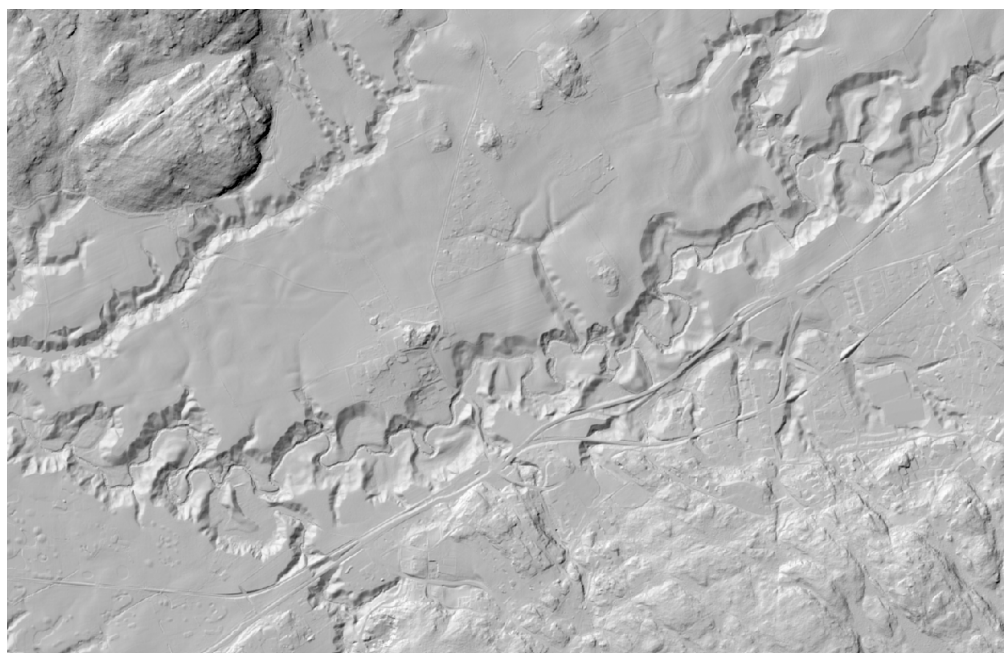
Konjic ($43.662\ 483^\circ$, $18.090\ 303^\circ$)

Lassithi Polje ($35.182\ 148^\circ$, $25.469\ 094^\circ$)

1. Describe what you see at the different locations.
2. Use the internet to find scientific information for how sinkholes, uvalas, poljes and ponors form. What do you find?
3. (Lassithi) Follow the drainage that passes the bridge at the point ($25.432\ 157^\circ$, $25.432\ 157^\circ$). Which way does the river flow? Where does the river go?

4 Slutningsprocesser/Slope processes

4.1 Skred och ravinbildning/Land slides and ravine formation



Lat ,Lon: 57.799188, 12.143976; Sweref99 TM: 330530, 6410091

Bilden ovan visar ett område nära Olofstorps NO om Göteborg. Längs ett mindre vattendrag har ett flertal skred skapat en större dalgång där vattendraget rinner fram. Det finns också ett flertal raviner i området.

1. Öppna kartverktyget som [SGU \(Sveriges geologiska undersökning\)](#) skapat i en webläsare. När du kommer in i kartfunktionen behöver du öppna lagermenyn i övre högra hörnet av kartan (tre horisontella linjer) och kan aktivera terrängskuggning. Du ser nu hur SGU karterat såväl skred som ravinbildning i området.
2. Gör profilmätningar genom sluttningar som karterats som skredärr och sådana som inte karterats som sådana. Kan du hitta några skillnader?
3. Gör profilmätningar tvärs några karterade ravinbildningar i området. Hur ser dessa sluttningar ut jämfört med de andra sluttningarna?
4. Kan du dra några slutsatser av dina observationer?

The image shows the area near Olofstorps NE of Gothenburg. Along a small river, numerous landslides have helped create a large valley around the water course. There are also a number of ravines in the area.

1. Open the map tool made by the [SGU \(Swedish Geological Survey\)](#). When you are in the map tool you need to open the layer menu in the upper right corner of the map area (three horizontal lines) and activate the hill shading (terrängskuggning). You now see how SGU has mapped both land slide scars and ravines in the area.
2. Make profile measurements through the mapped slide scars as well as slopes not mapped as slide scars. Can you see any differences?
3. Make profile measurements across some of the ravines in the area. How do these slopes compare with the other slopes?
4. Can you draw any conclusions from your observations?

4.2 Bergras/Rockfall

Använd Google Earth Pro för att besöka ett ras i området Canyonlands, Utah, USA. Undersök

Use Google Earth Pro to visit a rockfall in the Canyonlands, Utah, USA. Investigate the rockfall using the profile tool in Google Earth Pro.

raset med hjälp av verktygen i Google Earth Pro.

Koordinater:

(38.367 289°, -109.985 454°)

1. Använd profilverktyget i Google Earth Pro för att etablera en profil över raset. Hur tolkar du profilen du ser?
2. Hur många m hög är den vertikala delen av profilen? (notera att höjdmodellen i Google Earth Pro är rätt grov).
3. Titta runt i omgivningarna. Hur ser sluttningarna ned mot vattendraget ut?

Coordinates:

(38.367 289°, -109.985 454°)

1. Use the profile tool in Google Earth Pro to establish a profile of the rockfall. How do you interpret the profile you see?
2. How many m high is the vertical part of the slope? (Note that the elevation model in Google Earth Pro is crude).
3. Look at the surroundings. What characterises the slopes surrounding the water course.?

4.3 Talus/Talus

Använd Google Earth Pro för att besöka Graubünden, Schweiz, och en sluttning med taluskoner. Undersök talusslutningen med hjälp av verktygen i Google Earth Pro.

Koordinater:

(46.570 108°, 10.326 694°)

1. Använd profilverktyget i Google Earth Pro för att etablera en profil över talusen. Vad karakteriseras profilen du ser?
2. Titta runt i omgivningarna. Hur ser sluttningarna ut i omgivningen?

Use Google Earth Pro to visit Graubünden, Switzerland, and a slope with talus cones. Investigate the talus slope using the profile tool in Google Earth Pro.

Coordinates:

(46.570 108°, 10.326 694°)

1. Use the profile tool in Google Earth Pro to establish a profile of the talus. What characterises the profile you see?
2. Look at the surroundings. What characterises the slopes in the surroundings?

4.4 Skred/Landslide

Använd Google Earth Pro för att besöka skredet i Oso, Washington, USA. Undersök skredet med hjälp av verktygen i Google Earth Pro.

Koordinater:

(48.283 653°, -121.849 002°)

1. Använd profilverktyget i Google Earth Pro för att etablera en profil över skredet i rörelseriktningen från ovan skredärret till nedan skredets utsträckning. Hur tolkar du profilen du ser?
2. Uppskatta skredärrets storlek (i km² eller m²).
3. Uppskatta vilken yta skredet täckt (i km² eller m²).
4. Använd artikeln av Wartman et al. (2016) för att erhålla information om bakgrunden till skredet.

Use Google Earth Pro to visit the landslide at Oso, WA, USA. Investigate the landslide using the profile tool in Google Earth Pro.

Coordinates:

(48.283 653°, -121.849 002°)

1. Use the profile tool in Google Earth Pro to establish a profile across the slide from above the slide scar to below the toe of the slide. How do you interpret the profile you see?
2. Estimate the size of the landslide scar (in km² or m²).
3. Estimate the size of the landslide deposits (in km² or m²).
4. Use the article by Wartman et al. (2016) to obtain information on the background for the slide.

5 Fluvial landforms and processes

5.1 Geomorfologiska laboratoriet/Geomorphological laboratory

Laborationen består av tre stationer, den lilla rännan, den stora rännan och vågtanken. Du kommer att besöka alla tre stationerna för att göra observationer som medger att du kan svara på frågor som hör till respektive del. Mot slutet av laborationen kommer du att diskutera resultaten med övriga deltagare i laborationen.

The laboratory consist of three stations, The small flume, the large flume and the wave tank. You will visit all three stations and make observations that will allow you to answer questions associated with these stations. At the end of the laboratory you will discuss the observations with all groups participating in the laboratory.

5.2 Laboration med 2,5 m laboratorieränna/laboratory with the 2.5 m laboratory flume.

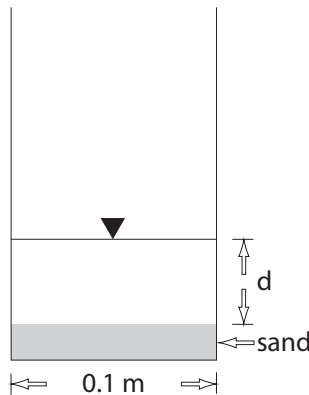


Figure 1. Geometrin i den lilla rännan som du behöver använda i experimentet./The geometry of the small flume, which you need to use in the experiment.

1. Den lilla rännan har en enkel geometri och du behöver mäta vattendjup i samband med att du gör vissa mätningar (Figur 1).
2. Mät den representativa vattenföringen q för den första delen av experimentet. Vattenhastigheten är kopplad till vattenföringen genom vattendragets tvärsnittsarea som $q = vA$ där v är hastigheten och $A = dw$ är tvärsnittsarean, w är bredden på rännan.
Använd en hink med känd volym och ett stoppur för att mäta hur mycket tid som behövs för att fylla den. Denna mätning ger dig vattenföringen i m s^{-1}
3. Studera hur sedimentet transportereras genom glidning, rullning och saltation av individuella korn. Skriv ned dina observationer.
Tips! Har du en mobilkamera med slow motion möjlighet kan du spela in en sekvens för att i detalj kunna se processerna i detalj.
4. Studera principen för deltauppbypgnad och struktur (top fore and bottomset). Beskriv dina observationer av process och form.
5. Öka vattenföringen gradvis och studera vad som händer i rännan. Vad kan du se? Gör
1. The small flume has a simple geometry and you need to measure water depth d in conjunction with some other measurements you make. (Figure 1).
2. Measure the discharge q representative for the first part of the experiment. The water velocity is related to the discharge through the cross sectional area as $q = vA$ where v is the water velocity and $A = dw$ is the cross-sectional area, w is the width of the flume. Use a bucket with known volume and a stop clock to measure how much time is needed to fill the bucket. This measurement will give you the discharge in $\text{m}^3 \text{s}^{-1}$.
3. Study sediment transport, sliding, rolling, saltation of individual grains. Write down your observations.
Hint! If you have a smart phone with slow motion capability, you can record a sequence to study the processes in detail.
4. Study "delta" buildup and structure (Top fore and bottom sets). Describe your observations of the processes and form.

- vattenförmätningsmätningar vid ett par kritiska vattenflödesmängder där du kan observera förändringar. Beräkna vattenhastigheterna för varje situation och använd Hjulström-Sundborg-diagrammet (Figur 2) för att utvärdera förhållandena i rännan. Skriv ned dina observationer.
- Sänk flödet till något liknande början av experimentet. Lägg i en eller flera platta stenar för att studera processerna som skapar imbrication. Skriv ned dina observationer.

- Increase discharge slowly and study what happens in the flume. What can you observe? Make discharge measurements at a couple of critical flow rates where you observe changes. Calculate the flow velocities for each situation and make use of the Hjulström-Sundborg curve (figure 2) to evaluate the conditions in the flume. Write down your observations.
- Lower flow rate to something similar to the start of the experiment. Insert one or more flat stones to view the process responsible for imbrication. Write down your observations.

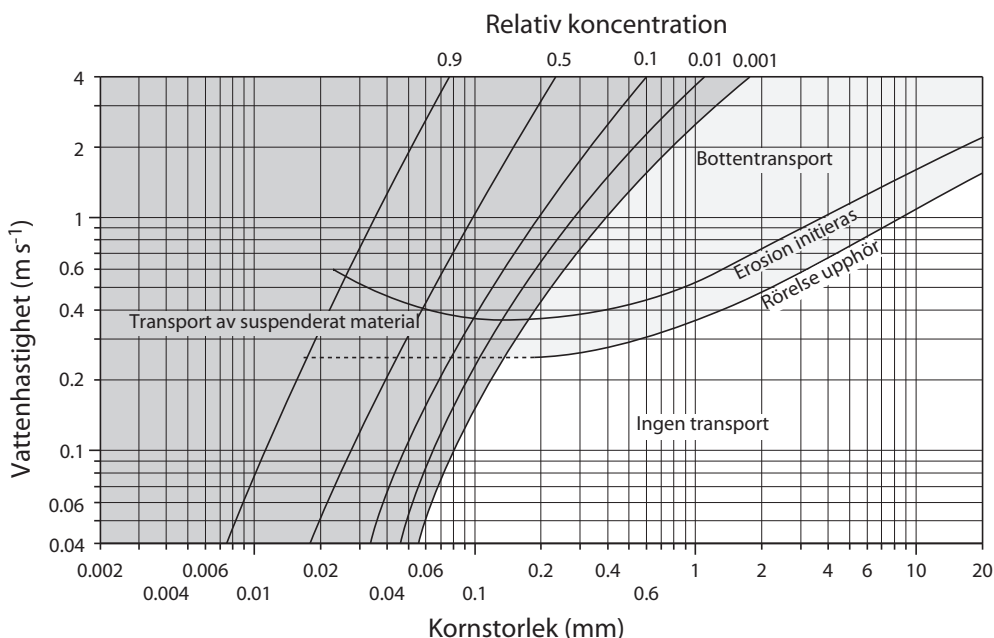


Figure 2. Diagram över sambandet mellan vattnets strömningshastighet, sedimentets kornstorlek och dess transporttillstånd. Materialet antas vara välsorterat och ha en densitet av 2.65 Mg m^{-3} . Strömhastigheten uppmätt 1 m ovanför bottnen. Linjerna för relativ koncentration anger genomsnittskoncentrationen suspenderat material i förhållande till koncentrationen nära bottnen. Diagrammet hämtat från Sundborg (1956)./Diagram showing the relationship between grain size, water velocity and sediment transport conditions. The material is assumed to be well sorted and have a density of 2.65 Mg m^{-3} . The velocity is measured 1 m above the bed. The lines for relative concentration show the average concentration of suspended material in relation to the concentration at the bed. The diagram is modified after Sundborg (1956).

5.3 Stor ränna/Large flume

I den stora rännan kan du studera flödet i vattendrag samt erosions och depositionsprocesser. Modifiera vattendraget i den övre delen av ränna som du vill för att studera dessa processer. Det finns en rad nyckelpunkter att studera:

- Studera hur erosion och deposition sker i ett böjt vattendrag. Vad ser du?
- Studera hur hur sedimenten på bottnen ser ut. Kan du se några systematiska mönster? Förklara

In the large flume you can study river flow, erosion and deposition. Feel free to modify the stream channel in the upper half of the flume to enable you to study these processes. There are a number of key aspects to look for:

- Study how erosion and deposition occurs in a curved stream. What can you observe?
- Study the sediment on the bed occurs. Can you observe any systematic patterns? Explain.

- Vilka typer av former kan du se i vattendraget?
- Ett delta utvecklas i den djupare delen av rännan. Vad kan du observera när det gäller processerna som bygger upp ett delta?

- What type of bedforms can you observe in the stream?
- A delta will be built at the lower end of the large flume. What can you observe concerning delta building processes

5.4 Vågtank/Wave tank

Övning utvecklad av/Exercise developed by Martim Mas e Braga

Inför experimentet: använd en whiteboardmärkpenna till att rita en profil av stranden på tankens glasvägg och markera var havsytan möter strandprofilen. Jämför denna med strandprofilen mot slutet av experimentet för att se om några förändringar har skett vid vågtankens sida. Glöm inte att torka bort dina markeringar innan du avslutar experimentet och nästa grupp tar över. Alternativt kan olika grupper i övningen använda olika färger.

Med vågor som slår snett in mot stranden, studera hur sedimenttransporten sker när varje enskild våg slår mot stranden. Rör sig sedimentet i samma riktning när vågen slår in mot stranden som när vågen retirerar? Vad händer efter att vågor slagit in mot stranden i samma riktning ett tag? Kan du förutspå vad som skulle hända efter en mycket längre tidsperiod?

Låt oss försöka hindra att vår strand eroderas bort innan det är för sent. Placera tegelstenar så att de hindrar sedimenttransporten och vänta några minuter (tänk på hur du hindrar transport och vågor från den översta delen av stranden till de djupare delarna). Vilka skillnader kan du se på sidorna av ditt erosionshinder, var detta ett effektivt erosionsskydd? Du kan se ett verkligt exempel på effekten av att bygga liknande hinder i Google Earth:

($-3.706\ 639^{\circ}\text{S}$, $-38.555\ 194^{\circ}\text{W}$)

Ändra orienteringen på vågmaskinen så att vågorna slår in vinkelrätt mot stranden. Hur sker sedimenttransporten när vågorna slår in mot stranden? Hur förändras strandlinjen?

På olika platser vill befolkningen skydda sig mot att stora vågor slår mot stränderna och bygger därfor vågbrytare. Använd tegelstenar för att bygga din egen vågbrytare och se hur sedimenttransporten ändras på den skyddade delen av stranden (observera att avståndet mellan vågbrytare och strand kan påverka resultatet radikalt). Vad händer i det skyddade området?

Avlägsna en del av sedimenten bakom vågbrytaren och låt vågorna slå in mot stranden en

Before starting: use a whiteboard marker to draw the beach profile on the glass wall and mark where the sea level is on the shoreline. Compare it to the beach profile by the end of the exercise to see if there were any significant differences at the edge of the wave tank. Do not forget to erase it before the next group comes, or use different colours for each group!

With the waves hitting the coast in a ‘diagonal’ direction, look at the sediment movement when each wave hits the shore. Do sediments go to the same direction when the wave hits and when it retreats? What happens after a prolonged amount of time that the waves have been hitting the shore from this direction? Can you predict what would happen after a very extensive amount of time?

Now let us try to prevent our beach from being eroded away before it is too late! Place the bricks so that they block the sediment transport and wait for a few minutes (think about how to block the transport and waves from the highest point on the beach to the deeper area). What differences can you see on both sides of your structure? Was it effective on fighting erosion? You can see a real life example on the outcomes of building such structures on Google Earth: ($-3.706\ 639^{\circ}\text{S}$, $-38.555\ 194^{\circ}\text{W}$)

Change the orientation of the wave generator so that it is parallel to the coast. How is the sediment transport now when the waves hit the beach? How did the shoreline adjust?

In some cities people like to be protected from strong waves at the shoreline. They do so by constructing ‘wave breakers’ in specific spots. Use the bricks once again to build your own ‘wave breaker’ and see how the sediment transport direction changes on the protected area on both sides (note that the proximity to the shore itself can have a significant impact on the results!). What happens to the protected area?

stund. Hur effektiv var din “strandåtgärd”?

Försök att förklara varför dessa förändringar sker på en strand med hjälp av dina observationer av sedimenttransport och förändringar i stranden. Du kan se ett verkligt exempel i Google Earth:

($-7.943\ 000^{\circ}\text{S}$, $-34.823\ 806^{\circ}\text{V}$)

Om du har tid över kan du ändra våggenerator så att vågorna slår in snett mot stranden igen och studera hur transporten och stranden förändras.

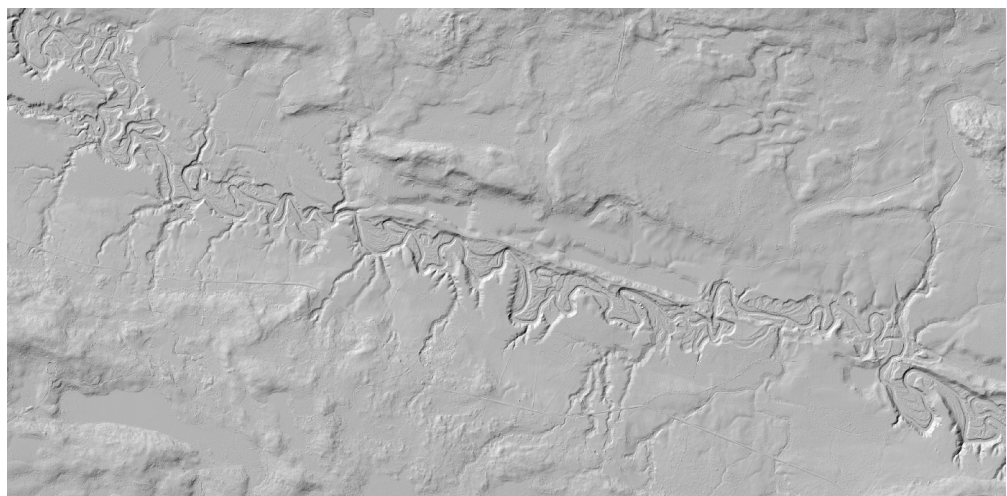
Now try to remove some of the sediment behind it and let the waves crash for a few minutes. How effective was your ‘beach maintenance’?

From your observations of the sediment transport directions and the changes on the shoreline, try to explain why these changes on the beach occur. You can see another real life example on Google Earth:

($-7.943\ 000^{\circ}\text{S}$, $-34.823\ 806^{\circ}\text{V}$)

If you have some time left, combine the inclined wave incidence with the breakers and see how the sediment transport and the shoreline change!

5.5 Meandering/Meandering



Lat,Lon: 61.953315, 16.391410; Sweref99 TM: 573331, 6869677

Du har en karta över vattendraget Svågan och dess meandrar. Studera kartan noggrant med avseende på de fluviala landformer du kan identifiera i dalgången. Lös följande uppgifter:

1. Markera de aktiva fluviala sträckorna
2. Markera de inaktiva fluviala sträckorna
3. Markera de aktiva depositions och erosions-formerna i det aktiva vattendraget
4. Markera branter som indikerar fluvial erosion men som inte är del av de aktiva och inaktiva fluviala sträckorna du identifierat tidigare
5. Sök upp rapporten av Klint (1959). Kan du lokalisera hur den gamla karteringen och ditt utsnitt från terrängdata överlappar? Finns det skillnader i vattendragets lopp?

You have a map over the river Svågan and its meanders. Carefully study the map and identify fluvial landforms you can observe. Solve the following tasks:

1. Mark the active fluvial system
2. Mark the inactive fluvial channels
3. Mark the actively depositional and erosional landforms in the current river system
4. Mark scarps indicating fluvial erosion that are not part of the current river or the inactive channels you identified in the previous tasks
5. Look up the report by Klint (1959). Can you localise how the old mapping overlaps with your section from the terrain data? Are there differences in the water course?

5.6 Flätverksströmmar, anabanching och anastomoseringe vattendrag/Braided, anabanching and anasomosing rivers

Besök Goodley River, Nya Zeeland, Rio Parana, Argentina, samt Brahmaputra, Indien.

Koordinater:

Goodley River: (-43.618 530°, 170.491 980°)

Rio Parana: (-29.538 649°, -59.591 470°)

Brahmaputra: (26.430 907°, 92.219 586°)

1. Beskriv de karakteristisk dragen hos vatten-dragen i området runt den givna koordina-tten.
2. Sök information vad som karakteriseras flät-verksströmmar, anabanching och anastomo-serande vattendrag. Vilket av de tre floderna hör till vilken kategori där du gjort dina ob-servationer? Motivera.

Visit the Goodley River and Whataroa River in New Zealand as well as Brahmaputra in India. Coordinates:

Goodley River: (-43.618 530°, 170.491 980°)

Rio Parana: (-29.538 649°, -59.591 470°)

Brahmaputra: (26.430 907°, 92.219 586°)

1. Describe the characteristics of the three river systems in the area of the given location
2. Look for information of what characterises braided, anabanching and anastomosing rivers. Which of the three rivers you have ob-served belong to which of these categories?
Motivate.

5.7 Delta/Delta

Besök Nildeltat, Egypten, och Mississippi deltat, Louisiana, USA.

Koordinater:

Nildeltat: (30.874 413°, 31.073 968°)

Mississippi: (29.641 051°, -90.497 936°)

1. Vad karakterisera dessa deltan?
2. Hur skulle du beskriva processen som skapar deltan?

Visit the Nile Delta, Egypt, and the Mississippi delta, Louisiana, USA.

Coordinates:

Nile delta: (30.874 413°, 31.073 968°)

Mississippi: (29.641 051°, -90.497 936°)

1. What characterises these deltas?
2. How would you describe the processes that form the deltas?

5.8 Alluvialkon/Alluvial fans

Besök alluvialkonen vid Copper Canyon i Death Valley, Louisiana, USA.

Koordinater:

(36.124 229°, -116.757 037°)

1. Vad karakterisera landformen?
2. Hur skulle du beskriva bildningsprocessen för alluvialkoner?
3. Titta på andra alluvialkoner i dalgången, vad kan du observera? Förklara observationerna du gör.
4. Sök upp artikeln av McPherson et al. (1987) för att få mer bakgrund.

Visit the Copper Canyon alluvial cone, California, USA.

Coordinates:

(36.124 229°, -116.757 037°)

1. What characterises the landform?
2. How would you describe the processes that forms alluvial fans?
3. Look at other alluvial fans in the valley, what can you observe? Explain any observations you make.
4. Look up the article by McPherson et al. (1987) to gain more background information.

6 Glacials processer och landformer/Glacial processes and land forms

6.1 Glacial erosion och isrörelse/Glacial erosion and ice flow



I denna övning behöver du studera glacials räfflor på åtminstone två olika platser runt staden. Du behöver kunna mäta riktning på räflorna och ange koordinater för den plats du mäter på. Det finns därför två alternativ. Du kan använda en vanlig kompass för att mäta riktningarna samt identifiera platsen (inom c:a 100 m) i Google Earth Pro och spara koordinaterna från platsen i en s.k. kmz-fil. Alternativt kan du ladda ned en kompass-app till din smartphone och använda den för att mäta riktningen, oftast anger kompassappen även koordinaterna för platsen.

1. Anteckna koordinaterna där du gör dina observationer. En koordinat för varje plats du besöker räcker. Du behöver inte registrera koordinaterna för varje räffa du mäter på samma ställe.
2. Anteckna kompassriktningen hos åtminstone 15 räffor på varje plats du besöker. Anteckna sydliga riktningar, 90–270°.
3. Beräkna medelriktningen och hur mycket dina mätningar varierar på varje plats (standardavvikelsen).

Vilka slutsatser kan du dra från dina observationer

Tips: Bra platser för att hitta räfflor är nära vattnet i saltsjön och där nybyggnation under de senaste årtiondena har exponerat berggrund som tidigare varit begravid under sediment. Berggrund på högre höjd är ofta söndervittrad så att räflorna inte längre syns. Ett bra typexempel på en berghäll som skulle lämpa sig för mätningar är den utanför Universitetets tunnelbanestation. Denna häll får dock inte ingå i dina mätningar.

In this exercise you need to study glacial striations at at least three different localities around town. You need to measure the direction of the striations and the location where you do the measurements. There are two ways you can accomplish this. You can use a traditional compass to measure the directions and then locate your site (within c. 100 m) in Google Earth Pro and save the coordinates in a so-called kmz file. Alternatively you can download a compass app for your smart phone and use it for recording the direction. These apps usually simultaneously provide coordinates.

1. Record the coordinates where you do your observations. One coordinate is sufficient for each site. You do not need to record coordinates for every striation you measure at a site.
2. Record the compass direction of at least 15 striations at each site. Record the southerly directions, 90–270°.
3. Calculate the average direction at each site and how much your values differ at each site (standard deviation).

What conclusions do you draw from these observations?

Hint: Good exposures with striations are usually found near the shore or where construction during recent decades has exposed bedrock previously buried under soil. Bedrock at higher elevations tend to have weathered so that striations are no longer visible. A good example of an exposure suitable for measurements is located outside the University subway station. This exposure must not be included in your measurements.

Skicka dina observationer i en Excelfil med e-post och följ följande format (Sweref 99 TM-koordinater och riktning):

”Longitud”	”Latitud”	Riktning
6551489	495727	173

Om du skickar koordinater i grader som latitud och longitude, ange vilket koordinatsystem du använder. Ange också koordinaterna i decimalform (inte grader, minuter, sekunder etc.).

Please E-mail your observations in an Excel file in the following format (Sweref 99 TM coordinates and direction):

”Longitude”	”Latitude”	Direction
6551489	495727	173

If you provide latitude and longitude coordinates in degrees, please indicate what coordinate system you are reporting and also keep coordinates in decimal form (not degrees, minutes, seconds etc.).



När du mäter en räffla är det viktigt att hålla kompassen vågrät så att kompassnålen fritt kan röra sig. Du behöver därför orientera kompassen genom att titta ned lodrätt så att kompasskanten hamnar parallellt med räfflorna.

Ett viktigt tips är att ta med en flaska med vatten så att du kan blöta ned hällytan. Det gör att räfflorna blir enklare att se än om ytan skulle vara torr. Men låt de lokala förhållanden bestämma vad du gör.

When you measure a striation it is important to keep the compass horizontal so that the compass needle can move without interference. You therefore need to orient the compass by looking down vertically so that you can align the compass edge with the striation.

An important tip is to bring a bottle of water so that you can wet the rock surface. This makes the striations stand out more than if the surface is dry. But, let the local conditions determine your actions.

6.2 Drumliner/Drumlins



Lat ,Lon: 59.096185, 14.921692; Sweref99 TM: 495727, 6551489

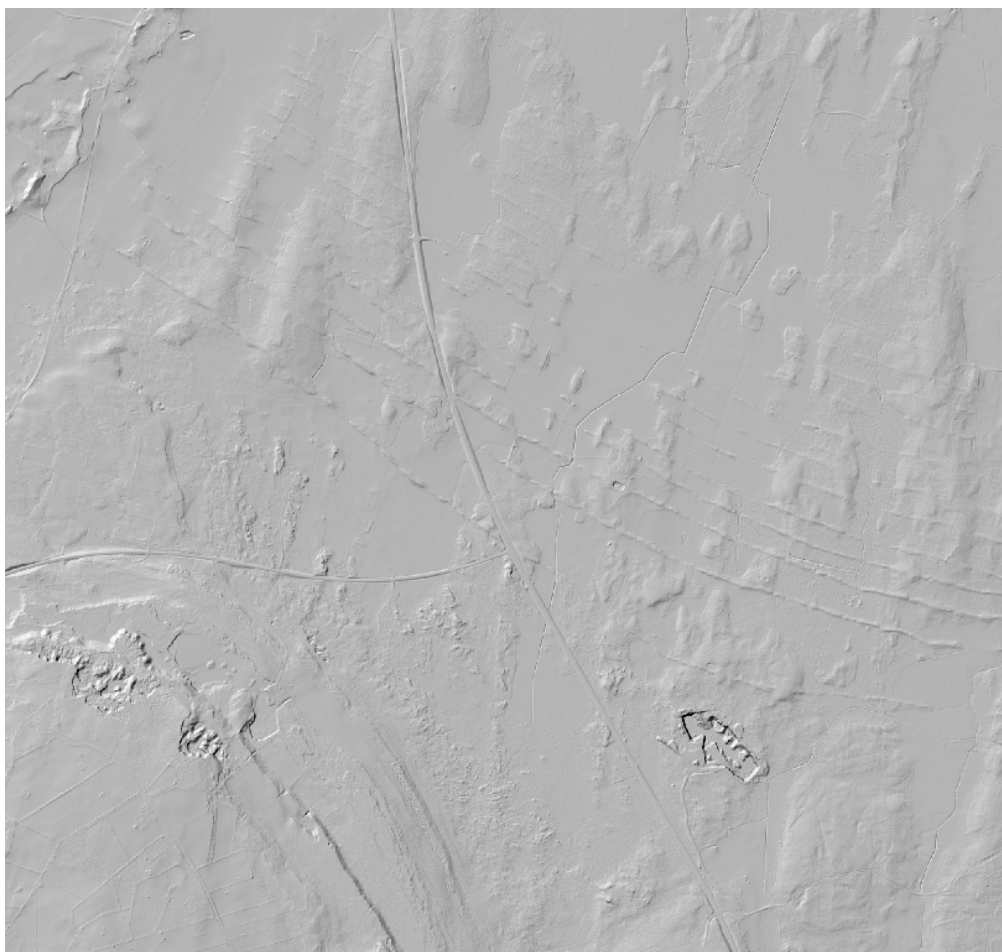
Hackvad är ett typområde för drumliner i Sverige. På bilden ser du en del av området med mer eller mindre tydliga drumliner. Studera området noggrant och gör en bedömning på följande punkter:

1. Hur skulle du karakterisera landformen? Hur rörde sig isen?
2. Vad är det för storleksordning på längd, bredd och höjd på drumlinerna? Med storleksordning menas 1, 10 100, 1000, 10 000 osv. m.
3. Hur mycket varierar storleken på drumlinerna i området? Dvs. hur mycket varierar längd, bredd, respektive höjd?
4. Sök upp artikeln av Möller and Dowling (2016) för att få mer bakgrundsinformation.

Hackvad is a characteristic area for drumlins in Sweden. The image shows a part of the area with more or less obvious drumlins. Study the area carefully and evaluate the following:

1. How would you characterise the landform?
How did the ice sheet move?
2. What are the magnitude of length, width and height of the drumlin? By magnitude we mean 1, 10 100, 1000, 10 000 etc. m.
3. How much does the size vary in the area?
I.e. how much does length, width and height, respectively vary?
4. Look up the article by Möller and Dowling (2016) to obtain more background information.

6.3 De Geer-moräner/De Geer moraines



Lat,Lon: 58.533491, 13.826971; Sweref99 TM: 431413, 6488787

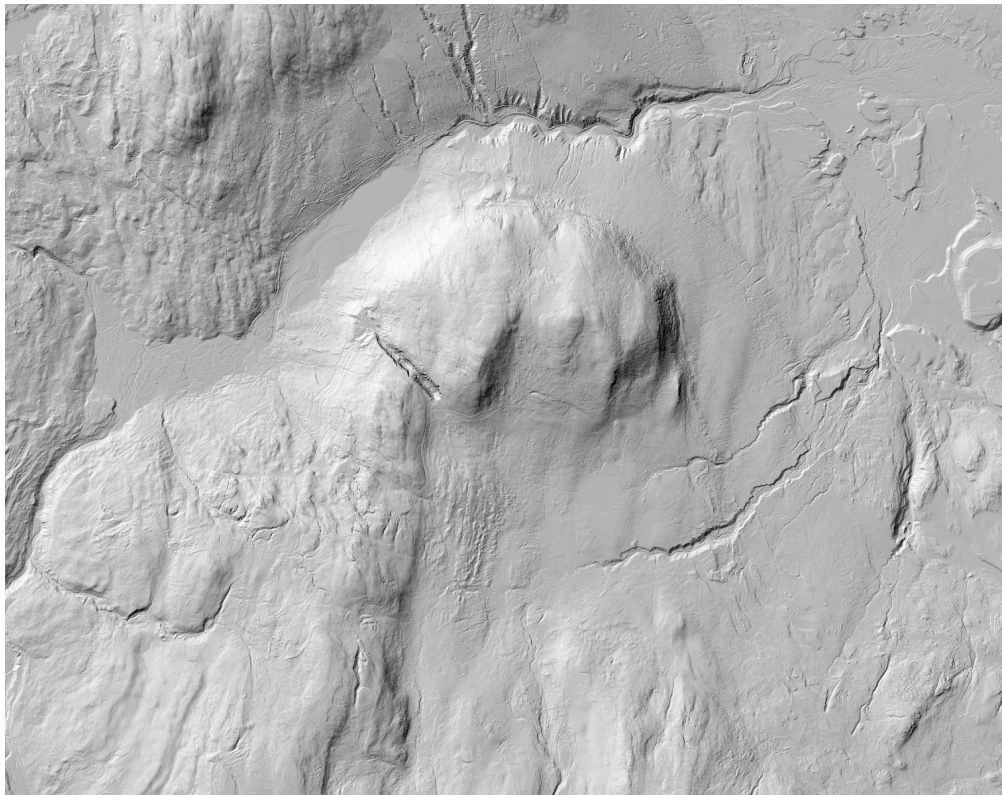
Låstad är en plats vid norra spetsen av Billingen där flera De Geer-moräner kan återfinnas. De Geer moräner bildas subakvatiskt parallellt med iskanten på en marin inlandsis. I figuren ovan kan du se elva olika tydliga sub-parallelala ryggar som var och en representerar ett stadium hos iskanten. En teori är att ryggarna representerar årliga positioner hos en retirerande inlandsis.

1. Beskriv ryggarnas form i genomskärning.
2. Antag att moränerna är årliga. Vad kan du säga om reträtthastigheten hos isen över fältet av ryggar? Ge numeriska uppskattningar på reträtthastigheten och visa hur du gjort uppskattningarna.
3. sök upp artikeln av Bouvier et al. (2015) som ger bakgrundsinformation.

Låstad is a locality at the northern tip of the Billingen mountain south central Sweden. Several so-called De Geer moraines are visible in the area. De Geer moraines are formed parallel to the ice margin of an ice sheet in a sub-aquatic environment. In the figure above you can see about eleven sub-parallel ridges of variable clarity each representing a stage of the ice sheet front. A theory is that the ridges represent annual positions of the retreating ice sheet.

1. Describe the cross-sectional geometry of a De Geer moraine.
2. Assume that the moraines are annual. What can you say about the retreat rate of the ice sheet across the field of moraines. Provide numerical estimates of typical rates and show how you arrived at the estimates.
3. Locate the article by Bouvier et al. (2015) to obtain background information.

6.4 Dränering av glaciala sjöar/ Glacial lake drainage



Lat ,Lon: 63.081108, 13.799251; Sweref99 TM: 439423, 6995119

Dromskåran är en glacifluvial tappningsränna i de jämtländska fjällen. Rännan har skapats av utflödet av vatten från en isdämd sjö, dvs. en sjö som skapats mellan inlandsisen och ett berg. Detta skedde i slutskeden av den senaste istiden. Studera Terrängmodellen noggrant och ge din syn på följande punkter

1. Åt vilket håll har vattnet dränerats? Dvs. var fanns issjön och åt vilket håll rann vattnet?
2. Vilka landformer utöver själva rännan har du identifierat som lett dig till ditt svar på föregående fråga?
3. Vad kan du utläsa från geomorfologin i området i samband med att rännan skapades?
4. Vad säger hela scenariot om var inlandsisen låg?

Dromskåran is a glaciofluvial drainage way in the mountains of Jämtland. The pathway was created by water flowing from an ice dammed lake, i.e. a lake formed between the inland ice and a mountain. The lake was formed towards the end of the ice age when the ice was retreating. carefully study the terrain model and provide your insights into the following:

1. Towards what direction did the water drain? I.e., where was the ice dammed lake and in which direction did the water drain?
2. What land forms apart from the drainage pathway itself have you identified which has led you towards the answer to the previous question?
3. What can you decipher from the geomorphology of the area regarding conditions when the drainage pathway was created?
4. What does your scenario say about where the inland ice was located?

6.5 Ändmoräner/Terminal moraines



Lat,Lon: 58.468752, 13.480203; Sweref99 TM: 411847, 6481872

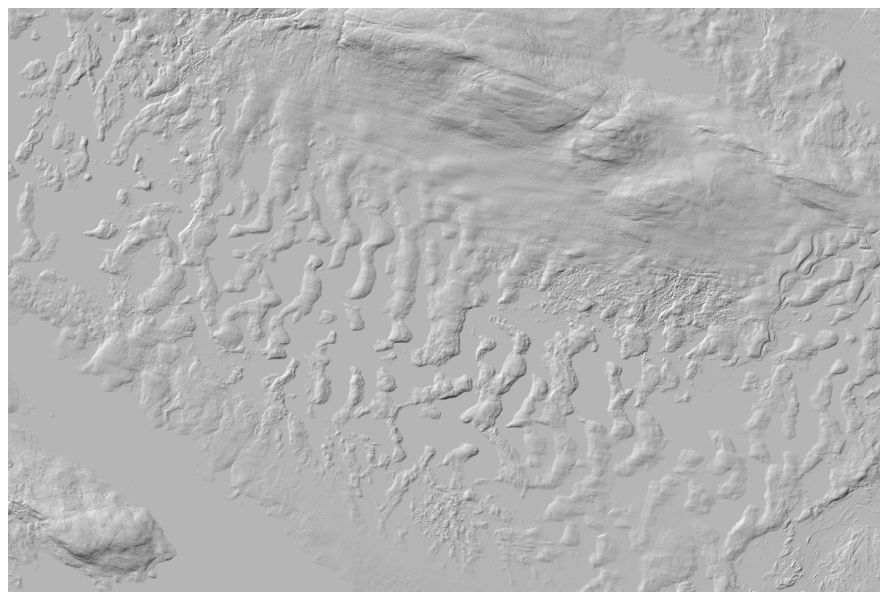
Den mellansvenska israndzonen (MIRZ) är ett område där inlandsisens reträtt under deglaciationen stoppade upp i respons till det kalla s.k. Yngre Dryas händelsen. Bilden ovan visar ett utsnitt i Västergötland väster om Billingen där ett antal ändmoräner genomkorsar landskapet. Artikeln av Johnson et al. (2013) ger en inblick i hur moränerna bildats och vad som bygger upp dem. Notera speciellt kartan i artikeln som visar de olika moränerna.

1. Använd profilverktyget i QGIS för att skapa tvärprofiler över ryggarna.
2. Är de symmetriska eller asymmetriska?
3. Är de enstaka ryggar eller komplexa ryggar?

The Middle Swedish end-moraine zone is an area where the deglaciation of Fennoscandian ice sheet halted in response to the Younger Dryas cold event. The image above shows a section of this zone west of the Billingen mountain where a number of terminal moraines run across the landscape. The article by Johnson et al. (2013) provides insights into how the moraines have been formed and the material that build them. Note in particular the map in the article which shows the different moraines.

1. Use the profile tool in QGIS to create profiles across the different moraines.
2. Are they symmetric or asymmetric?
3. Are they single ridges or complex forms?

6.6 Rogenmorän/Rogen moraine



Lat,Lon: 62.354061, 12.417534; Sweref99 TM: 366303, 6916247

Sjön Rogen i norra Dalarna är typområde för Rogenmorän. Rogenmorän kallas ibland också ”ribbed moraine”. Artikeln av Hättestrand and Kleman (1999) redovisar hur Rogenmorän bildas.

1. Använd profilverktyget i QGIS och studera tvärprofiler av ryggformerna, dvs. profiler vinkelrätt mot ryggens längdaxel.
2. Är de symmetriska eller asymmetriska?
3. Åt vilket håll rörde sig isen när rogenmoränen bildades?
4. Vad karakteriseras ryggformerna?

The lake Rogen in northern Dalecarlia, Sweden, is the reference area for Rogen moraines. Rogen moraines are also referred to as ribbed moraines. The article by Hättestrand and Kleman (1999) provides information on how Rogen moraine is formed.

1. Use the profile tool in QGIS to study cross profiles of the moraine forms, i.e. profiles perpendicular to the length axis.
2. Are they symmetric or asymmetric?
3. What was the ice movement direction at the time the Rogen moraines were formed?
4. What characterises the Rogen moraines?

6.7 Veikimorän/Veiki moraine



Lat,Lon: 67.400290, 22.513916; Sweref99 TM: 821238, 7494045

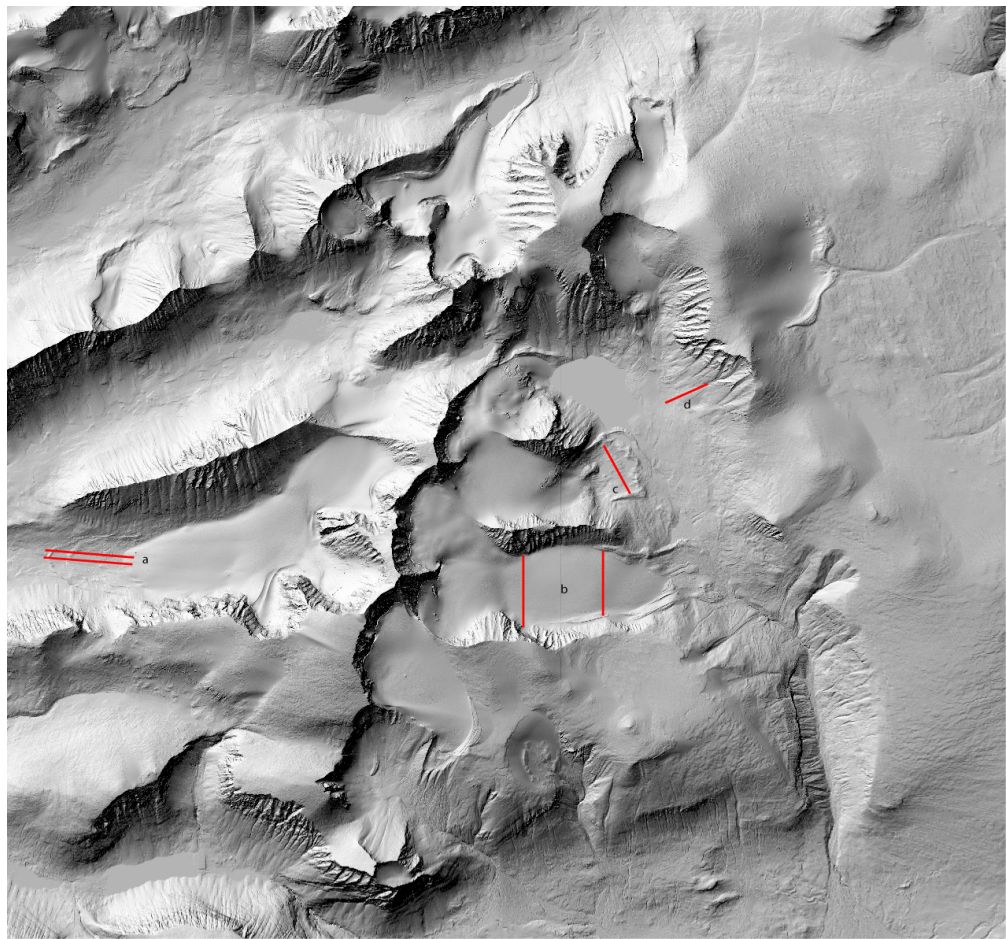
Veikimorän är uppkallad efter området Veiki norr om Gällivare i norra Sverige. Veikimorän förekommer i stora men tydligt begränsade områden. Veikimoränen består av platåer med djupare områden mellan platåerna. Artikeln av Lagerbäck (1988) beskriver bildningssättet för formerna.

1. Använd profilverktyget i QGIS och skapa profiler över veikimoränen.
2. Vad kan du observera när det gäller platåerna?

Veiki moraine is named after the Veiki area north of Gällivare, northern Sweden. Veiki moraine occurs in large but clearly delimited areas. The moraine consists of plateaus inter-spaced by lower lying terrain. The article by Lagerbäck (1988) describes the formation process of the forms.

1. Use the profile tool in QGIS and create profiles across the Veiki moraine.
2. What observations can you make regarding the plateaus?

6.8 Glacialt landskap/Glacial landscape



Lat , Lon: 67.911199, 18.610738; Sweref99 TM: 651589, 7537256

Tarfadalalen ligger öster om Sveriges högsta berg, Kebnekaise. Detta är det mest alpina området i Sverige. Som du kanske vet består Kebnekaise av två toppar, nord- och sydtoppen, som består av berg respektive is (glaciär). Flera glaciärer finns i området varav Storglaciären är den mest kända och flödar österut från Kebnekaiseryggen. Stockholms universitets, Tarfala forskningsstation, ligger i dalen och är ansvarigt för monitoring av miljödata i området.

1. Zooma in på mitten av Storglaciären. Du kommer att se en rak linje som går tvärs över glaciären i nord-sydlig linje i skugg relief-lagret. Linjen syns också norr och söder om Storglaciären. Vad har denna linje för betydelse? Varför finns linjen?
2. Till vänster finns två parallella linjer framför Rabots glaciär (a). Skapa två profiler på ungefärlig samma platser. Den nedre passerar genom ett gap i ryggarna som ligger framför glaciären, den övre går över ryggarna. Hur tolkar du dessa profiler?

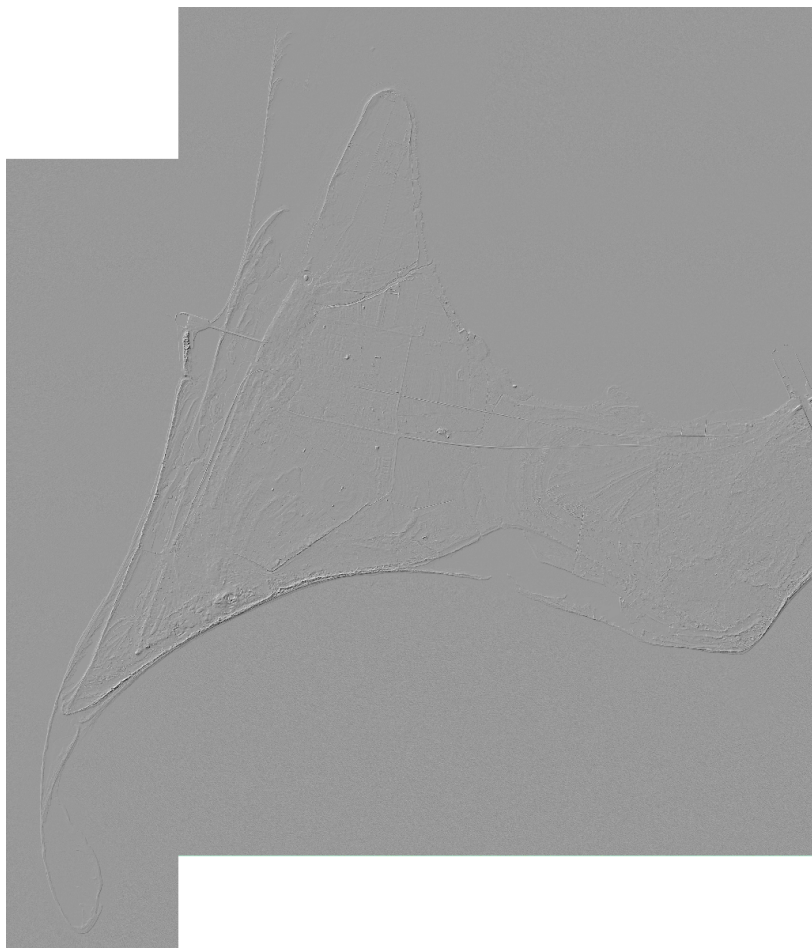
The Tarfala valley is located East of the highest mountain in Sweden, Kebnekaise. This is the most alpine area in Sweden. As you may know the Kebnekaise mountain consist of two peaks, the north and south summit, which are made up of rock and ice (glacier), respectively. Several glacier are located in the area, the most famous is Storglaciären that flows towards the East from the Kebnekaise summit. The Stockholm University Tarfala Research Station is located in the valley and is responsible for monitoring of environmental data in the area.

1. Zoom into the middle of Storglaciären. You will see a straight line in the shaded relief that runs north to south across the glacier. The line is also visible north and south of Storglaciären. What is the significance of this line? Why does it exist?
2. To the left in the image there are two parallel lines in front of Rabots glaciär (a). Create two profiles at the same locations. The lower profile runs through gaps in the ridges

3. På Storglaciären finns två profiler i nord-sydlig riktning (b), Skapa profiler över glaciären. Vad visar dessa? Varför ser profilerna ut som de gör?
 4. Framför Isfallsglaciären ligger ett område med en räfflad yta (c). Dra en profil tvärs över området. Vad ser du och hur tolkar du detta?
 5. På en sluttning i bildens högra del finns en ränna som slutar i en lobformad landform (d). Dra en profil som bilden visar och beskriv vad du ser. Kan du förklara landformen?
in front of the glacier. The upper runs across the ridges. How do you interpret these profiles?
3. There are two profiles marked on Storglaciären on a north-south direction (b). Create profiles across the glacier at these locations. What do the profiles show? Why do the profiles look the way they do?
 4. In front of Isfallsglaciären is an area with a ridged surface (c). Create a profile across the area and describe what you see and how you interpret the result?
 5. On a slope on the right hand side of the image there is a chute that continues into a lobate landform (d). Create a profile as shown in the image and describe what you observe. Can you explain the landform?

7 Kustprocesser/Coastal processes

7.1 Kusttransport/Coastal transport



Lat,Lon: 55.404356, 12.875933; Sweref99 TM: 365726, 6141798

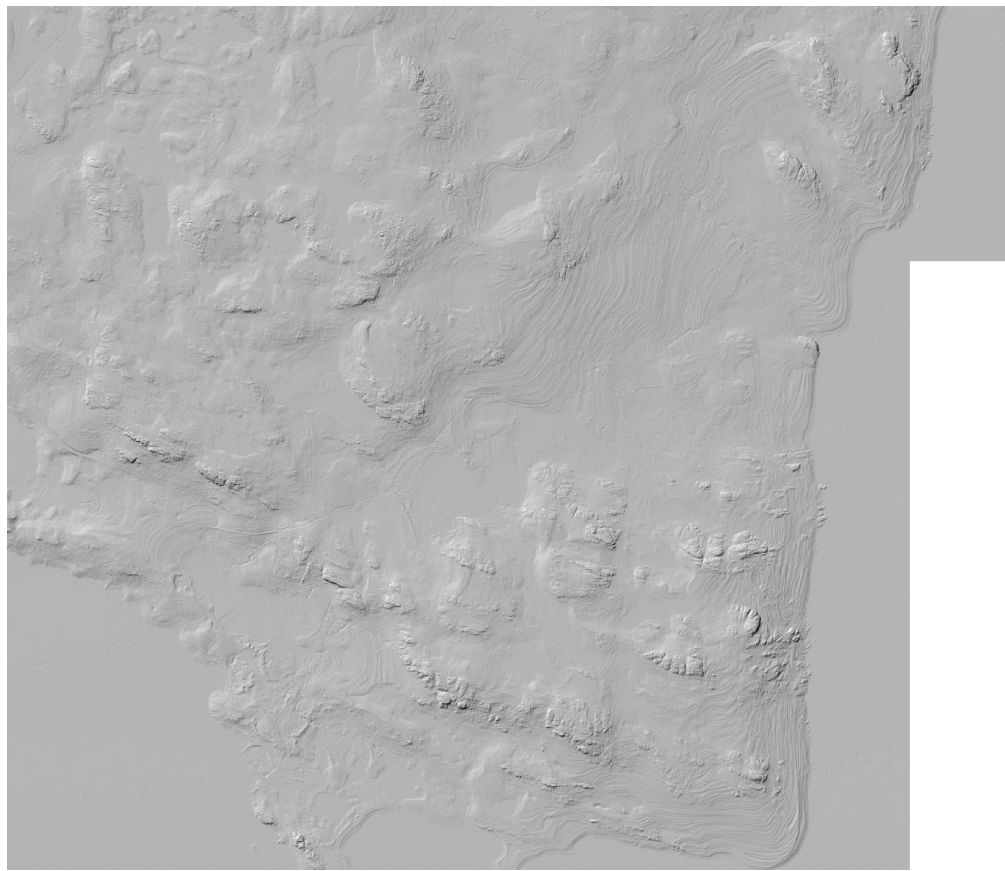
I bilden ovan ser du halvön Skanör-Falsterbo i Skåne. Halvön utgörs till stora delar av landformer utformade av kustprocesser.

1. Se till att lagret med höjdkurvor är på. Notera att detta lager innehåller mycket information så det kan ta lite tid för QGIS att uppdatera skärmen. Zooma in så att du kan se vågorna i havet utanför kusten. Studera hur vågorna är fördelade såväl ute till havs som nära kusten.
2. Hur skulle du säga att vinden generellt blåste när data samlades in?
3. Vad observerar du vad gäller vågornas riktning nära kustlinjen runt halvön? Rita en generaliserad skiss över dina observationer.
4. Hur tror du sediment transportereras längs stränderna runt halvön?

The Image above shows the Skanör-Falsterbo peninsula in southern Sweden. The peninsula is largely composed of landforms created by coastal processes.

1. Make sure the layer showing contours is on. Note that this layer contains a lot of information so QGIS may require time for updating the screen. Zoom in so that you can see the waves in the sea outside the coast. Study how the waves are distributed at sea and close to the shore.
2. How would you say the wind was blowing when the data was collected.
3. What can you observe concerning the wave directions near the coast line around the peninsula? Draw a generalised sketch of your observations.
4. How do you think sediment is transported along the shores of the peninsula?

7.2 Strandlinjer/Raised beachess



Lat,Lon: 61.645986, 17.488754; Sweref99 TM: 631865, 6837303

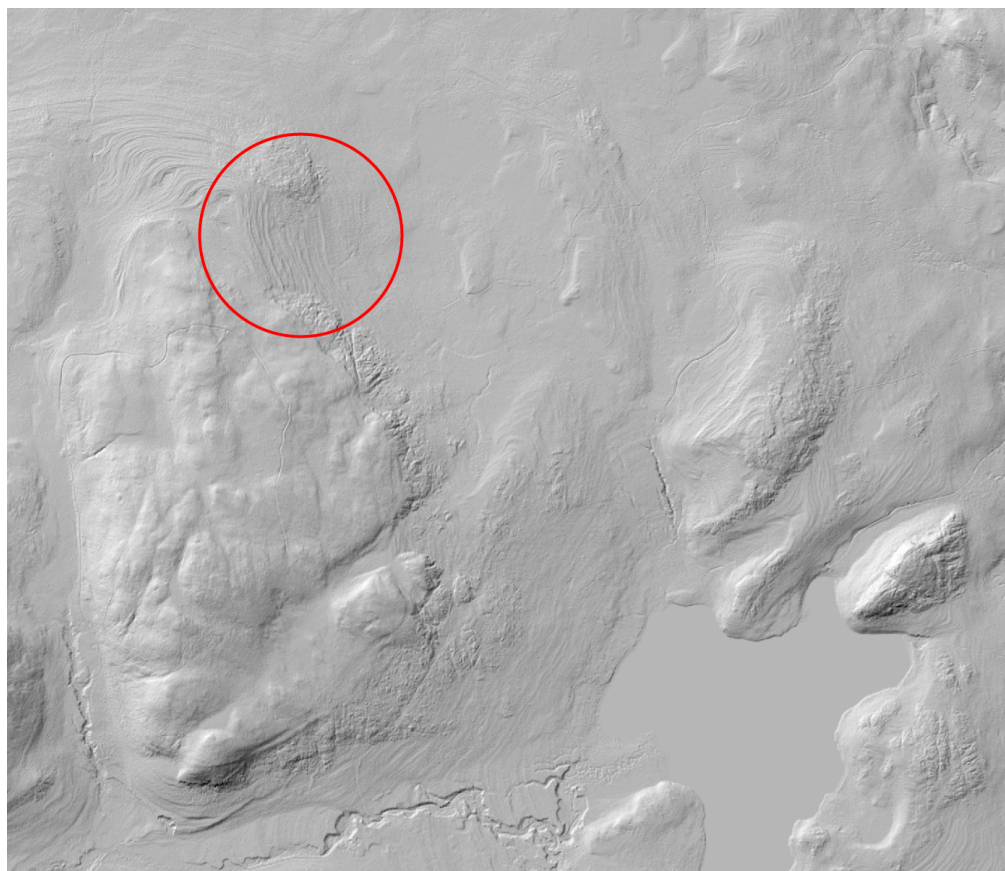
Hornslandet är en halvö som sticker ut i Bottniviken från Hälsinglands kust. Hela kusten på Hornslandet består av grova sediment som utformats till strandlinjer pga. landhöjningen.

1. Välj en del av kustlinjen. Skapa en profil vinkefärt mot kustlinjen.
2. Vad kan du se baserat på dina profildata?
3. Vad kan du säga om strandlinjer utifrån det rumsliga mönstret och dina profilstudier?

Hornlandet is a peninsula in Hälsingland that extends out into the Gulf of Bothnia from the main coast. The shores of Hornslandet consist of shoreline deposits created by shore processes and postglacial uplift.

1. Select a part of the shore line. Make an elevation profile perpendicular to the coast line.
2. What can you observe based on your profile information?
3. What conclusions can you draw based on your view of the spatial pattern and the profiles you have studied?

7.3 Strandlinjer och HK/Shorelines and the highest shoreline elevation



Lat,Lon: 61.891989, 16.951983; Sweref99 TM: 602584, 6863514

Figuren ovan visar ett område kallat Järnblästen i Hälsningland. I området ser du strandlinjer likt det du observerade på Hornslandet. Detta område ligger dock en bit från nuvarande kust linjen.

1. Skapa en profil över strandlinjerna i det inringade området.
2. Hur skulle du beskriva skillnaderna mellan strandlinjerna i detta område och de på Hornslandet?
3. Söder om strandlinjerna finns en gränslinje mellan skrovlig och slät mikro-topografi. Vad beror det på? (dra profiler och ta hänsyn till höjd).

The image above shows an area called Järnblästen in Hälsingland. In the area you can see shorelines similar to what you observed for Hornslandet. This area is, however far from the current shore line.

1. Create a profile of the shorelines in the circled area.
2. How would you describe the differences between shorelines in this area and the ones observed on Hornslandet?
3. South of the shorelines there is a boundary between rough and smooth micro-terrain. Why does this difference occur? (draw profiles and consider the elevation).

8 Periglaciala processer/Periglacial processes

8.1 Pingo och iskilar/Pingo and ice wedges

Mackay (1998) har beskrivit hur flera pingos utvecklats i McKenzie-området i Alaska. Besök McKenzie deltat, Alaska

Koordinater:

(69.399 545°, -133.079 505°)

1. Hur karakteriseras du denna pingo?
2. Hittar du fler Pingoformer i närheten?
3. Hur tolkar du miljön där pingon förekommer?
4. Ser du andra periglacial landformer runt omkring pingon? i så fall vilka?

Mackay (1998) has described the evolution of several pingos in the the McKenzie area in Alaska.

Visit the McKenzie delta, Alaska

Coordinates:

(69.399 545°, -133.079 505°)

1. How would you describe this pingo?
2. Can you find more pingos in the surroundings?
3. How do you interpret the environment where the pingo occurs?
4. Do you see other periglacial landforms in the area surrounding the pingo? If so what forms?

8.2 Termokarst/Thermokarst

Veremeeva and Glushkova (2016) har beskrivit termokarstmiljön runt floden Kolyma i sibirien. Mer summerande information om termokarstsjöar ges av Kravtsova and Rodionova (2016).

Besök området runt Kolymafoden i sibirien

Koordinater:

(68.361 516°, 155.478 908°)

1. Med hjälp av Google Earth Pro och artiklarna av Veremeeva and Glushkova (2016) samt Kravtsova and Rodionova (2016), vad är din bild av miljön och processerna där termokarstsjöar återfinns?

Veremeeva and Glushkova (2016) have described the thermokarst environment in the Kolyma River area in Siberia. More summarising information on thermokarst lakes is given by Kravtsova and Rodionova (2016). Visit the area around the Kolyma river in Siberia, Russia

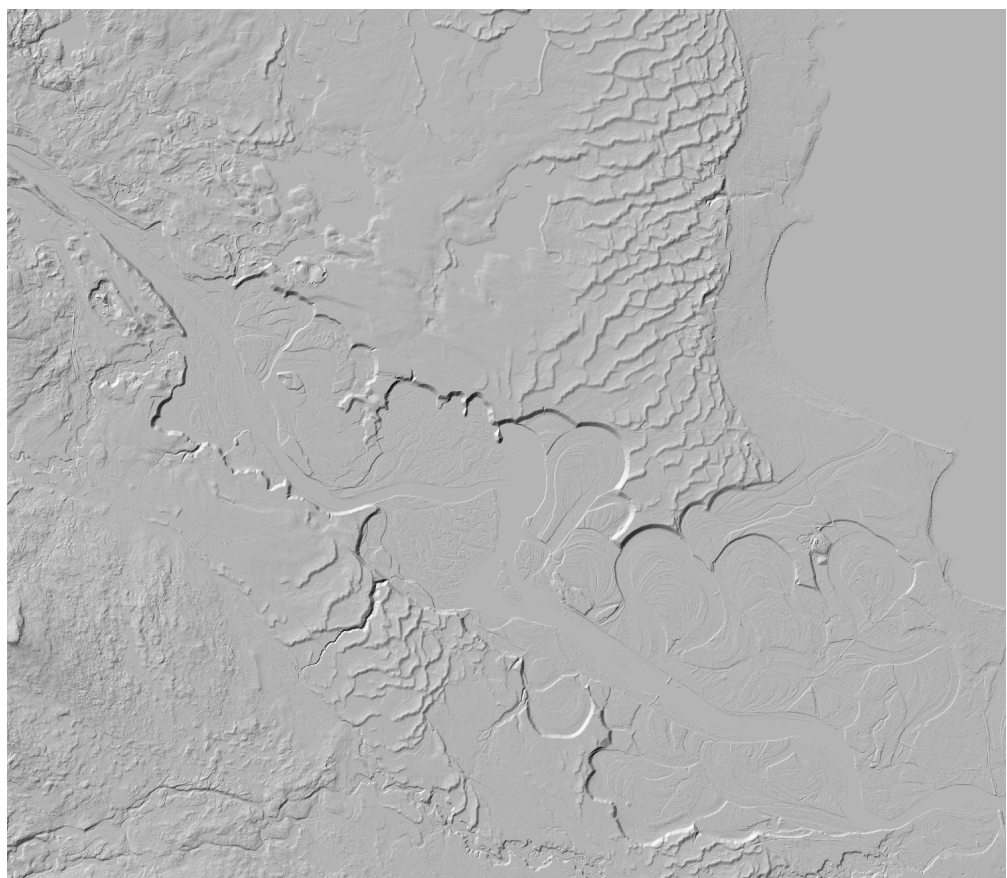
Coordinates:

(68.361 516°, 155.478 908°)

1. By using Google Earth Pro and the articles by Veremeeva and Glushkova (2016) as well as Kravtsova and Rodionova (2016), what is your view on the environment and processes where thermokarst lakes exist?

9 Vindprocesser/Eolian processes

9.1 Sanddyner/Sand dunes



Lat,Lon: 61.057039, 14.466376; Sweref99 TM: 471215, 6769901

Bilden ovan visar det såkallade Morafältet. Mora ligger utanför kartans nedre högra hörn. Morafältet är ett HK-delta på vars yta ett omfattande sanddynfält utvecklats i samband med att inlandsisen drar sig tillbaka och deltat torrläggs. Alexanderson and Bernhardson (2016) har undersökt dynerna och ger en bakgrund till området. Använd kartan för att besvara följande frågor:

1. Vad tolkar du som den dominerande vindriktningen som skapade dynfältet?
2. Mät och rita en profil tvärs en dyn. Använd en riktning lik den antagna dominanta vindriktningen.
3. Det finns ett brott i dynfältet så att en del återfinns i södra delen av kartan och den större delen i kartans övre hälft. Hur tolkar du orsaken till detta?

The image above shows the so-called Mora-field. The city of Mora is located outside the lower right corner of the map. The Mora field is a highest shoreline delta on which an extensive dune field has developed as the ice sheet retreated away from the area and the delta surface dried up. Alexanderson and Bernhardson (2016) have investigated the dune field and provide additional details on the area. Please use the map to answer the following questions:

1. What do you interpret as being the dominant wind direction forming the dune field?
2. Measure and draw a profile across a dune. Use a direction similar to the interpreted dominant wind direction.
3. There is a break in the dune field so that one part is found in the lower part of the map and a larger portion in the upper half of the map. How do you interpret the cause for this?

9.2 Barkaner, stjärn och linjära dyner/Barchan, parallel, star and linear dunes

Besök öknarna Atacama, Namibia, Rub'Al-Khali och Algeriet för att studera olika typer av dynner. Wiggs (2001) summerar processerna kring dynformation. Koordinater:

(−14.011 332°, −75.892 368°)
(−23.879 772°, 17.782 139°)
(18.437 552°, 48.230 222°)
(29.205 509°, −1.487 177°)

1. Beskriv dynerna du ser på respektive plats.
2. Vad kan du säga om vindriktningen på platserna.

Visit the Atacama, the Namibian, the Rub'Al-Khali and the Algerian deserts to view different types of dunes. Wiggs (2001) provides a summary of dune formation processes. Coordinates:
(−14.011 332°, −75.892 368°)
(−23.879 772°, 17.782 139°)
(18.437 552°, 48.230 222°)
(29.205 509°, −1.487 177°)

1. Describe the dunes you see at each location.
2. What can you say about the wind direction.

9.3 Yardang/Yardang

Besök öknen i Qaidams dräneringområde, Kina, och studera yardanger. Li et al. (2016) har studerat fördelningen och morfologin på yardanger i området.

Koordinater:

(38.222 428°, 93.386 131°)

1. Vad karakteriseras yardangerna?
2. Varför är de orinterade som de är?

Visit the desert in the Qaidam basin, China, to study yardangs. Li et al. (2016) has studied the distribution and morphology of yardangs in the area. Coordinates:

(38.222 428°, 93.386 131°)

1. What characterises the yardangs?
2. Why are they oriented the way they are?

10 Storskalig geomorfologi/Large scale geomorphology



Använd kartorna av Lidmar-Bergström and Olvmo (2015) och Rudberg (1960) över Nordens landformsregioner. Den första är en mer generalisering karta än den senare över Sverige och Norge, men också mer uppdaterad vad gäller teorier. Undersök följande:

Norrlandsgränsen studera profiler tvärs norrlandsgränsen

Bergkullterräng studera profiler inom områdena som klassas som bergkullterräng

Bergkullslätt studera profiler inom områdena som klassas som bergkullslätt

Sprickdalstopografi studera profiler inom områdena som klassas som sprickdalstopografi

Förkastningslinjer studera nordsydliga profiler över området från Mälardalen ned till Bråviken.

Use the maps by Lidmar-Bergström and Olvmo (2015) and Rudberg (1960) on the landform regions of Norden. The former is a more generalised map for Sweden and Norway than the latter, but also updated in terms of modern theories. Investigate the following:

Norrlandsgränsen study profiles across the Norrland boundary

Bergkullterräng study profiles in areas labelled as undulating hilly relief (bergkullterräng)

Bergkullslätt study profiles in areas labelled as Plains with residual hills (bergkullslätt)

Sprickdalstopografi study profiles in areas labelled as fracture valley landscape (sprickdalstopografi)

Förkastningslinjer study north-south profiles across the area between the lake Mälaren valley and Bråviken.

Vätternsänkan studera profiler över sjön Vättern med omgivning

Skånes förkastningstopografi studera nord-sydliga profiler över Skåne

Peneplan studera profiler från centrala Småland ut över Öland.

Strandflate studera profiler i öst-västlig riktning över Norges västkust

Fjordar studera profiler över Norges fjordområde

Allmänt Dra en profil från nedre östra "hörnet" av Blekinge över Billingen och Kinnekulle i Västergötland och vidare över till norska kusten.

Försök att summera dina observationer från ovanstående profilmätningar.

Vätternsänkan study profiles across the lake Vättern and surroundings

Skånes förkastningstopografi study north-south profiles across Scania

Peneplan study profiles from central Småland to across Öland

Strandflate study profiles in east-west direction across the Norwegian west coast

Fjordar study profiles across the Norwegian fjord area

General Draw a profile from the lower eastern 'corner' of Blekinge across the Billingen and Kinnekulle mountains in Västergötland and further to the Norwegian coast.

Try to summarise your observations from the profile measurements above..

A Ordlista/Dictionary

ablation gradient ablationsgradient [glacial]	boulder field blockhav [periglacial]
ablation zone ablationsområde [glacial]	bouma sequence boumasekvens [hav]
abrasion abrasion [kust]	braided stream flätverksström [fluvial]
abrasion platform abrasionsplattform [kust]	break point zone bränningssrev [kust]
abyssal abyssal [hav]	breaker zone bränningsszon [kust]
abyssal hill abyssalkulle [hav]	breaking wave brytande våg [kust]
abyssal plain djuphavsslätt [hav]	breakwater vågbrytare [kust]
accumulation zone ackumulationsområde [glacial]	butte butte [arid]
active layer aktivt lager [periglacial]	caliche caliche [arid]
aeolian eolisk [wind]	calving kalvning [glacial]
aggradation aggradering [fluvial]	canyon kanjon [fluvial]
alas alas [periglacial]	catchment dräningsområde [fluvial]
allogenic stream allogent vattendrag [fluvial]	cavitation kvitation [fluvial]
alluvial alluvial [fluvial]	chatter marks parabelriss [glacial]
alluvial fan alluvialföld [fluvial]	chemical weathering kemisk vittring [vittring]
alluvial plain alluvialslätt [landskap]	cinder cone askväg [landskap, vulkanism]
alluvial terrace alluvialterrass [fluvial]	cirque nisch [glacial]
alluvium alluvium [fluvial]	cirque glacier nischglaciär [glacial]
anabranching stream flergrenad ström [fluvial]	cliff hög bergbrant [sluttnings]
anastomosing stream flätverksström [fluvial]	coastal current kustström [kust]
angle of internal friction intern friktionsvinkel [sluttnings]	coastal plain kustslätt [kust]
angle of repose rasvinkel [sediment]	cobble beach strandmal [kust]
antecedent stream förelöpande ström [landskap]	col sadel [landskap, glacial]
anti dune antidyn [fluvial]	cold glacier kall glaciär [glacial]
arch båge [sluttnings]	collapsing breaker brytande våg [kust]
arête kam [landskap, glacial]	colluvium kolluvium [sluttnings]
arroyo arroyo [arid]	consequent stream konsekvent vattendrag [fluvial]
atoll atoll [kust]	continental rise kontinentalsluttnings [hav]
avalanche boulder tongue lavinblocktunga [sluttnings]	continental shelf kontinentsockel [hav]
avalanche chute lavinränta [sluttnings, nival]	continental slope kontinentalbrant [hav]
avulsion avledning [fluvial]	contour line höjdkurva [topografi]
backshore övre strandzon [kust]	core stone kärnblock [vittring]
backwash återsvall, återspolning [kust]	cornice överhängande driva [nival]
backwearing bakåtgripande erosion [sluttnings]	corrasion korrasion [fluvial]
badlands badlands [sluttnings]	corrie (Br.) nisch [glacial]
bajada bajada [arid]	crag and tail läsidesdrumlin [glacial]
bank bank [fluvial]	creep krypning [sluttnings]
bank caving brinkkollaps [fluvial]	crenulate beach vågformig strandlinje [kust]
bar revel [kust]	crecentic bar vågformad revel [kust]
barchan barkan [arid]	crecentic gouge skärtråg [glacial]
barrier coast barriärkust [kust]	crevasse glaciärspricka [glacial]
barrier island barriärö [kust]	cuesta cuesta [arid]
barrier reef barrärrev [kust]	current ström [fluvial]
basal sliding basal glidning [glacial]	current ripple strömrippel [fluvial]
basal till botttemorän [glacial]	cusp vågudde [kust]
base level basnivå [fluvial]	cuspatate bar skärformig revel [kust]
basin bäcken [fluvial]	cuspatate spit lärevel [kust]
bathymetry batymetri [kust]	cyoturbation kryoturbation [periglacial]
baymouth bar buktrev [kust]	De Geer moraine De Geer-morän [glacial]
beach cusp strandsporre [kust]	debris sediment(ospec.) [sluttnings]
beach drift strandtransport [kust]	debris avalanche jordlavin [sluttnings]
beach face uppspolningszon [kust]	debris covered glacier sedimenträckt glaciär [glacial]
beach ridge strandvall [kust]	debris flow jordström [sluttnings]
beach scarp erosionshak [kust]	debris slide jordsked [sluttnings]
bed load bottnenlast [fluvial]	deep weathering djupvittring [vittring]
bergschrund bergschrund [glacial]	deflation vinderosion [wind]
berm strandterrass, strandplan [kust]	deflation hollow deflationshåla [wind]
berm crest bankettkrön [kust]	deglaciation deglaciation [glacial]
bifurcation bifurkation [fluvial]	degradation degradering [fluvial]
block separation blockvittring [vittring]	delta delta [kust]
blockfield felsenmeer [periglacial]	delta plain deltaplan [fluvial]
blow-out utblåsningsränta [wind, kust]	dendritic network dendritiskt nätverk [fluvial]
bluff nipa [fluvial]	denudation denudation [landskap]
bluff brant klitt [kust]	depositional environment depositionsmiljö [landskap]
bolson bolson [arid]	depositional landform depositionsform [landskap]
bore tidvattenvåg [kust]	desert öken [arid]
bornhardt bornhardt [landskap]	desert pavement ökenbeläggning [arid]
bottomset bed bottnbädd [fluvial]	desert varnish ökenpatina [arid]
boulder depression blocksänka [periglacial]	desertification ökenspridning [arid]
	desiccation crack torkspricka [arid]

digital elevation model (DEM)	digital terrängmodel
(DTM) [topografi]	
dissolved load	löst last [fluvial]
dolin	dolin [karst]
downcutting	nedskärning [fluvial]
drainage basin	dräneringsområde [fluvial]
drainage divide	vattendelare [fluvial]
drainage network	dräneringsnät [fluvial]
dreikanter	dreikanter [wind]
dripstone	dropsten [karst]
drop stone	droppsten [glacial]
drumlin	drumlin [glacial]
dry wash	torrström [fluvial, arid]
dune	dyn [wind]
earthflow	jordflöde [sluttnig]
edge wave	randvåg [kust]
elastic strain	elastisk deformation [allmän]
end moraine	ändmorän [glacial]
englacial	englacial [glacial]
entrenched meanders	inskurna meandrar [fluvial]
equilibrium line	jämviktslinje [glacial]
erg	erg, sandöken [arid]
erosion	erosion [allmän]
erosional landform	erosionsform [landskap]
erratic	flyttblock [glacial]
escarpment	brant sluttning [kust, landskap]
esker	ås [glacial]
estuary	estuarium [kust]
etch plain	etsplan [landskap]
etch surface	etsytan [vittring]
exfoliation	exfoliation [vittring]
exfoliation dome	exfoliationsdom [vittring]
exhumation	återexponerad [landskap]
extensional crevasse	extensionsspricka [glacial]
feeder	beach matarstrand [kust]
feeder current	matarström [kust]
felsenmeer	blockhav [periglacial]
fetch	fetch [kust]
fiord	fjord [glacial]
firn	firn [glacial]
firn line	firngräns [glacial]
flash flood	plötslig översvämnning [fluvial]
flood	översvämnning [fluvial]
flood plain	floodslätt [fluvial]
flutes	flutes [glacial]
fluvial	fluvial [fluvial]
flyggberg	flyggberg [landskap, glacial]
foredune	frontdyn [kust]
foredune ridge	främre dynrad [kust]
forerunner	förlöpar [kust]
foreset bed	mittbädd [fluvial]
foreshore	kustlinjeslänt [kust]
fracture valley landscape	sprickdalslandskap [landskap]
frost heave	tjällytning [periglacial]
frost shattering	issprängning [periglacial]
frost wedge	iskil [periglacial]
gap	öppning [landscape]
gelifluction	gelifluktion [sluttnig]
geothermal heat	jordvärme [periglacial]
glacial trough	glacialtråg [glacial]
glaciation	nedisning [glacial]
glaciifluvial sediment	glaciifluvium [glacial]
gnamma	gnamma [vittring, arid]
graben	graben [landskap]
graded stream	graderad ström [fluvial]
granular disintegration	grusvittring [vittring]
groove	isräffa (större) [glacial]
grus weathering	grusvittring [vittring]
gully erosion	ravinerosion [fluvial]
guyot	guyot [ocean]
hamada	hamada [arid]
hanging trough	hängande tråg [glacial]
hanging valley	hängande dalgång [kust]
heaving	hävning [sluttnig]
highest shoreline	högsta kustlinjen [glacial]
hinterland	bakland [kust]
hogback	bergkam [landskap]
horn	topp [landskap, glacial]
horst	horst [landskap]
hypsometric curve	hypsometrisk kurva [topografi]
ice age	istid [glacial]
ice berg	isberg [glacial]
ice cap	platais [glacial]
ice divide	isdelare [glacial]
ice dome	isdom [glacial]
ice fall	isfall [glacial]
ice field	isfält [glacial]
ice sheet	inladsis [glacial]
ice shelf	isshelf [glacial]
ice stream	isström [glacial]
ice tongue	istunga [glacial]
ice wedge	iskil [periglacial]
incised meander	inskuren meander [fluvial]
inselberg	inselberg [landskap, vittring]
inshore	kustnära zon [kust]
interior basin	inre bäcken [arid]
isostacy	isostasi [allmän]
kame	kame [glacial]
kaolin	kaolin [vittring]
karren	karren [vittring]
kettle hole	dödisgrop [glacial]
lagoon	lagun [kust]
lahar	lahar [sluttnig]
landslide	jordskred [sluttnig]
lateral cutting	lateralerosion [fluvial]
lateral moraine	sidomorän [glacial]
levee	levee [fluvial]
liquefaction	likvifikation [sluttnig]
little ice age	lilla istiden [glacial]
littoral	litoral, kustnära [kust]
littoral drift	kustnära sediment [kust]
littoral transport	kustnära transport [kust]
longitudinal dune	longitudinell dyn [wind, arid]
longshore	kustparallell [kust]
longshore bar	kustparallell revel [kust]
longshore current	kustparallell ström [kust]
longshore drift	kustparallella sediment [kust]
marine cliff	marin hög bergbrant [kust]
marine scarp	kustbrant [kust]
marine terrace	kustterrass [kust]
mass movement	massrörelse [sluttnig]
mass wasting	massrörelse [sluttnig]
meander	meander [fluvial]
meander cutoff	meanderbrott [fluvial]
meander neck	meandernäs [fluvial]
medial moraine	mittmorän [glacial]
mesa	mesa [arid]
mid-ocean ridge	mittoceanisk rygg [hav]
monadnock	restberg [landskap]
moulin	glaciärbrunn [glacial]
mudflow	slamström [sluttnig]
nearshore	kustnära [kust]
nebkhå	nebkhå [arid]
nivation	nivation [snow]
normal stress	normalspänning [allmän]
nunatak	nunatak [glacial]
oasis	oas [arid]
oceanic trench	djuphavsggrav [hav]
offshore	kustdistanserad [kust]
offshore bar	kustdistanserad revel [kust]
onshore	mot kusten [kust]
oscillatory wave	oscillationsvåg [kust]
outlet	glacier utloparglaciär [glacial]
outwash plain	sandur [glacial]
overdeepening	överfordjupning [glacial]
overland flow	ytavrinning [fluvial]
oxbow	lakw korvsjö [fluvial]
palsa	pals [periglacial]

parabolic dune	paraboldyn	[<i>vind, arid</i>]	
pattered ground	strukturmark	[<i>periglacial</i>]	
pediment	pediment	[<i>landskap</i>]	
pediplain	pediplan	[<i>landskap</i>]	
penplain	penplan	[<i>landskap</i>]	
periglacial	periglacial	[<i>periglacial</i>]	
permafrost	permafrost	[<i>periglacial</i>]	
physical weathering	fysisk vittring	[<i>vittring</i>]	
piedmont	lobe	piedmontlob	[<i>glacial</i>]
pingo	pingo	[<i>periglacial</i>]	
plain with residual hills	bergkullslätt	[<i>landskap</i>]	
playa	playa	[<i>arid</i>]	
plucking	plockning	[<i>glacial</i>]	
plunge pool	kolkbäcken	[<i>fluvial</i>]	
plunging breaker	störtande våg	[<i>kust</i>]	
pluvial	lake	pluvial lake	[<i>arid</i>]
pocket beach	liten sandstrand	[<i>kust</i>]	
point bar	meandernäs	[<i>fluvial</i>]	
polar wander	polvandring	[<i>topografi</i>]	
polje	polje	[<i>vittring, karst</i>]	
Polythermal	Polytermal	[<i>glacial</i>]	
poron	poron	[<i>vittring, karst</i>]	
protalus rampart	protalusvall	[<i>periglacial</i>]	
quarrying	plockning	[<i>glacial</i>]	
quick clay	kwicklera	[<i>sluttnings?</i>]	
radial crevasse	radialspricka	[<i>glacial</i>]	
radial drainage	radiell dränering	[<i>fluvial</i>]	
raised beach	strandvall	[<i>kust</i>]	
raised shoreline	strandlinje	[<i>kust</i>]	
rapid	fors	[<i>fluvial</i>]	
ravine	ravin	[<i>fluvial</i>]	
rear dune ridge	bakre dynrad	[<i>kust</i>]	
recessional moraine	recessionsmorän	[<i>glacial</i>]	
recurved spit	krumudde	[<i>kust</i>]	
re-exposed	återexponerad	[<i>landskap</i>]	
reg	reg, stenöken	[<i>arid</i>]	
regelation	regelation	[<i>glacial</i>]	
regolith	lösmaterial	[<i>landskap</i>]	
rejuvenated glacier	rejuvenerad glaciär	[<i>glacial</i>]	
relief	relieff	[<i>landskap</i>]	
resequent river	resekvent vattendrag	[<i>landskap</i>]	
ria coast	riakust	[<i>kust</i>]	
ribbed moraine	rogenmorän	[<i>glacial</i>]	
rift	rift	[<i>landskap</i>]	
rift valley	riftdal	[<i>landskap</i>]	
rill erosion	rännilserosion	[<i>fluvial</i>]	
rip channel	ripströmskanal	[<i>kust</i>]	
rip current	ripström	[<i>kust</i>]	
ripple	böljeslagsmärke	[<i>kust</i>]	
river capture	floinfångning, flodavlänkning	[<i>fluvial</i>]	
roche moutonnée	rundhäll	[<i>glacial</i>]	
rock fall	bergras	[<i>sluttnings?</i>]	
rock glacier	blockglaciär	[<i>glacial</i>]	
rock slide	bergsskred	[<i>sluttnings?</i>]	
rogen moraine	rogenmorän	[<i>glacial</i>]	
rotational slide	rotationsskred	[<i>sluttnings?</i>]	
runnel	tidvattentråg	[<i>kust</i>]	
run-up height	uppspolningshöjd	[<i>kust</i>]	
run-up overwash	vågöverspolning	[<i>kust</i>]	
sabkah	sabkah	[<i>arid</i>]	
salt dome	saltdom	[<i>landskap</i>]	
salt pan	saltpanna	[<i>arid</i>]	
saltation	salutation	[<i>fluvial</i>]	
sandstorm	sandstorm	[<i>vind, arid</i>]	
saprolit	vitringsmantel	[<i>vittring</i>]	
sastrugi	sastrugi	[<i>snow</i>]	
scouring	renspolning, renskrapning	[<i>fluvial, glacial</i>]	
sea mount	undervattensberg	[<i>hav</i>]	
sea stack	rauk	[<i>kust</i>]	
sediment load	sedimentlast	[<i>fluvial</i>]	
sediment yield	sedimentproduktion	[<i>fluvial</i>]	
seiche	seiche	[<i>kust</i>]	
seif dune	seifdyn	[<i>arid</i>]	
shear crevasse	skjuvspricka	[<i>glacial</i>]	
shear stress	skjuvspanning	[<i>allmän</i>]	
sheet erosion	ytavspolning	[<i>fluvial</i>]	
sheet wash	ytavrinning	[<i>fluvial</i>]	
sheeting	bankning	[<i>vittring</i>]	
shoreface	bottnen utanför brytzonen	[<i>kust</i>]	
shoreline	strandlinje	[<i>kust</i>]	
sickle trough	skärtråg	[<i>glacial</i>]	
sink hole	slukhål	[<i>karst</i>]	
slope failure	sluttnings????	[<i>sluttnings?</i>]	
slump	rotationsskred	[<i>sluttnings?</i>]	
slush avalanche	slasklavin	[<i>snow</i>]	
snow	snö	[<i>glacial</i>]	
soil creep	jordkrypning	[<i>sluttnings?</i>]	
solifluction	solifluktion	[<i>sluttnings?</i>]	
sorted stripe	stenström	[<i>periglacial</i>]	
spheroidal weathering	sfäroidalvittring	[<i>vittring</i>]	
spilling breaker	spillande våg	[<i>kust</i>]	
spit	sandtunga	[<i>kust</i>]	
splash erosion	stänkerosion	[<i>fluvial</i>]	
spur	bergsporre	[<i>landskap</i>]	
stack	rauk	[<i>kust</i>]	
stalactite	stalaktit	[<i>karst</i>]	
stalagmite	stalagmit	[<i>karst</i>]	
star dune	stjärndyn	[<i>arid</i>]	
stone polygon	stenvolygon	[<i>periglacial</i>]	
stone ring	sterning	[<i>periglacial</i>]	
storm surge	stormflood	[<i>kust</i>]	
strain	deformation	[<i>allmän</i>]	
strain rate	deformationshastighet	[<i>allmän</i>]	
stream capacity	strömkapacitet	[<i>fluvial</i>]	
stream capture	flodavlänkning	[<i>fluvial</i>]	
stream competence	strömkompetens	[<i>fluvial</i>]	
stream erosion	fluvialerosion	[<i>fluvial</i>]	
stream gradient	strömgradient	[<i>fluvial</i>]	
stream load	strömlast	[<i>fluvial</i>]	
stream piracy	flodavlänkning	[<i>fluvial</i>]	
streambed	botten (i vattendrag)	[<i>fluvial</i>]	
streaming flow	strömande flöde	[<i>fluvial</i>]	
stress	spänning	[<i>allmän</i>]	
striae	isräffla	[<i>glacial</i>]	
sturzstrom	sturzstrom	[<i>sluttnings?</i>]	
subaerial	subaeril	[<i>allmän</i>]	
subaquatic	subakvatisk	[<i>allmän</i>]	
subglacial	subglacial	[<i>glacial</i>]	
supraglacial	supraglacial	[<i>glacial</i>]	
surf	surfågor	[<i>kust</i>]	
surf beat	vågbrottssvängning	[<i>kust</i>]	
surf zone	bränningsszon	[<i>kust</i>]	
surface weathering	ytvittring	[<i>vittring</i>]	
surge	svämning	[<i>glacial</i>]	
surging breaker	brytande våg	[<i>kust</i>]	
suspended load	suspenderad last	[<i>fluvial</i>]	
swash	svall	[<i>kust</i>]	
swash bar	svallrevet	[<i>kust</i>]	
swash mark	svallmärke	[<i>kust</i>]	
swash zone	svallzon, uppspolningszon	[<i>kust</i>]	
swell	dyning	[<i>kust</i>]	
sword dune	svärdsdyn	[<i>arid</i>]	
table mountain	taffelberg	[<i>landskap</i>]	
tafoni	tafoni	[<i>vittring, arid</i>]	
talus	talus	[<i>sluttnings?</i>]	
tarn (Br.)	nischsjö	[<i>glacial</i>]	
temperate glacier	tempererad glaciär	[<i>glacial</i>]	
terminal moraine	ändmorän	[<i>glacial</i>]	
terminal moraine	ändmorän	[<i>glacial</i>]	
terminus	front	[<i>glacial</i>]	
thalweg	thalweg	[<i>landskap</i>]	
thermokarst	termokarst	[<i>periglacial</i>]	
tidal bore	flovåg	[<i>kust</i>]	
tidewater glacier	tidvattenglaciär	[<i>glacial</i>]	
till	morän	[<i>glacial</i>]	
tombolo	tombolo	[<i>kust</i>]	
tor	tor	[<i>vittring</i>]	
tower karst	tornkarst	[<i>karst</i>]	

translatory wave transationsvåg [<i>kust</i>]	waterfall vattenfall [<i>fluvial</i>]
trellis pattern spaljémönster [<i>fluvial</i>]	watershed dräneringsområde [<i>fluvial</i>]
tributary biflöde [<i>fluvial</i>]	wave base vågbas [<i>kust</i>]
trunk stream huvudflöde [<i>fluvial</i>]	Wave crest vågkam [<i>kust</i>]
tundra tundra [<i>periglacial</i>]	wave cut bench abrasionsflak [<i>kust</i>]
turbidity current turbiditetsström [<i>ocean</i>]	wave cut notch abrasionshak [<i>kust</i>]
undertow underström [<i>kust</i>]	wave height våghöjd, amplitud [<i>kust</i>]
undulating hilly terrain bergkullterräng [<i>landskap</i>]	wave length våglängd [<i>kust</i>]
u-shaped valley u-dal [<i>glacial</i>]	wave train vågtåg [<i>kust</i>]
uvala uvala [<i>vittring, karst</i>]	wave trough vågdal [<i>kust</i>]
valley glacier dalglaciär [<i>glacial</i>]	wave-cut platform abrasionsflak [<i>kust</i>]
veiki moraine veikimorän [<i>glacial</i>]	weathering vittring [<i>vittring</i>]
ventifact ventifakt [<i>vind</i>]	wetted perimeter fuktad perimeter [<i>fluvial</i>]
v-shaped valley v-dal [<i>fluvial</i>]	whale back valrygg [<i>glacial</i>]
wadi wadi [<i>arid</i>]	wind gap dalgång utan flod [<i>vind</i>]
water gap strömöppning [<i>fluvial</i>]	yardang yardang [<i>arid</i>]
	yazoo stream yazoovattendrag [<i>fluvial</i>]

B Kompassen/The compass

Att mäta riktning eller orientering är viktigt inom geomorfologi. För att utföra geovetenskapliga mätningar är det lämpligt att ha en s.k. analog syftkompass med en klinometer (lutningsmätare) eller en mer avancerad geologkompass. Det är också möjligt att märt riktning och lutning med hjälp av en kompass-app i en smartphone. Ofta är kompass-appen kombinerad med en lutningsmätare annars finns separata lutningsmätarappar. Samtliga verktyg ger den information som behövs men det finns för och nackdelar som behöver belysas.

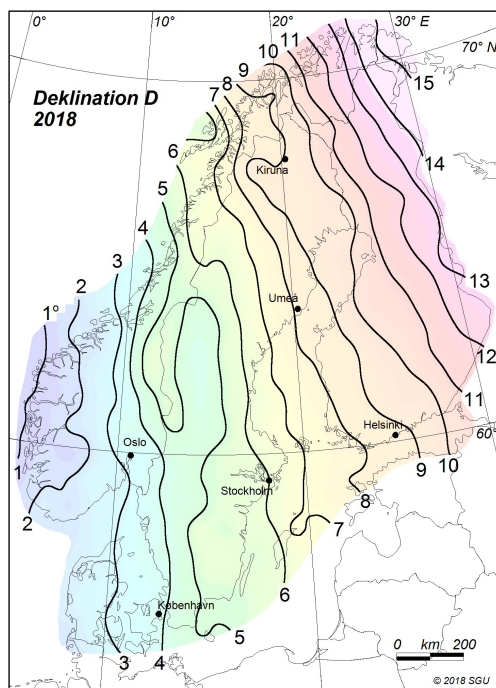
När vi mäter en riktning så är vi intresserad av att relatera riktningen till det som kallas kart-norr, dvs. mot den geografiska polen. Kompasserna använder jordens magnetfält för att visa riktning. Det magnetiska fältet sammanfaller inte med det geografiska näset och den magnetiska polen sammanfaller alltså inte med de geografiska riktningarna. Det betyder att en analog kompass mäter "fel" över stora delar av jordytan. Felet kallas deklination.

I figuren nedan ser du hur avvikelserna varierar i norden (missvisningen 2018 beräknad av SGU).

To measure direction or orientation is important in geomorphology. To make geoscientific measurements it is useful to have a so-called sighting compass with a clinometer (slope indicator) or a more advanced geological compass. It is also possible to measure direction and slope with a compass app in a smartphone. The compass app is commonly combined with a slope measurement capability. Otherwise, slope apps can be used separately. All these tools provide the information needed but there are pros and cons that need highlighting.

When we measure a direction we need to associate this to true north, i.e. the geographical pole. Compasses use the Earth's magnetic field to show direction. The magnetic field, however, does not coincide with the geographic directions. The magnetic pole does not coincide with the geographic pole. This means that a compass measures an 'incorrect' angle over large parts of the Earth's surface. The error is called declination.

In the figure below you see how the deviations from true north varies in the Nordic countries (declination in 2018 calculated by SGU).



När du mäter med en analog kompass kan du ställa in missvisningen för den plats du befinner dig på och erhålla korrekta geografiska

When you make measurements with an analogue compass you can adjust the compass for the declination at the site where you are. You

riktningar direkt. Alternativt kan du hålla kompassen på noll missvisning och korrigera värdena i efterhand. Det är dock viktigt att hålla reda på missvisningen så att mätresultaten blir korrekta. I kompass-apparna varierar möjligheterna hur du ställer in detta så du behöver titta på deras instruktioner.

En kompass-app i en smartphone baserar orienteringen på en s.k. magnetometer som mäter magnetfältet i tre dimensioner. Ofta kombineras magnetfältsmätningen med accelerations-sensorer som ger snabb information om hur telefonen rör sig. Magnetometern är mycket känslig för störningar i magnetfältet vilket gör att det är viktigt att vara observant på om de riktningar du mäter är rimliga. En analog kompass är inte lika känslig för störningar.

Tester har visat att en analog kompass och en kompass-app ger likvärdiga mätningarvärden. Det gäller dock att vara både noggrann och försiktig för att uppnå riktigt bra resultat. Ofta behöver du kalibrera appen för att den skall vara tillförlitlig. Exakt hur detta går till anges i appens dokumentation.

can also have the compass set to zero declination and make the correction afterwards. It is, however, important to keep track of the declination so that the measurement results become correct. In the compass apps the possibility to make declination correction varies. Check the app documentation if the possibility exists.

A compass app in a smartphone works on the basis of a so-called magnetometer that records the Earth's magnetic field in three dimensions. The magnetometer is often combined with acceleration sensors which provide quick information on how the telephone is moved. The magnetometer is very sensitive to disturbances in the magnetic field. This makes it important to be observant on whether or not the directions you measure make sense. An analogue compass is not as sensitive to disturbances.

Tests have shown that measurements by an analogue compass and a compass app provide reliable results. It is, however, important to be both meticulous and careful when making measurements to achieve good results. Often you will need to calibrate the compass app to get reliable results. How this is done will be given in the app documentation.

C Grader och meter/Degrees and meters

När du försöker förstå geografiska data är det praktiskt att ha insikt i förhållandet mellan globala koordinater i grader, minuter och sekunder eller decimalgrafer och, t.ex. avstånd i meter. Detta förhållande är tyvärr inte linjärt så det är viktigt att skapa en intuitiv bild av det generella sambandet. Följadne tabell ger en bra approximation av förhållandet mellan grader och fysiskt avstånd i meter vid olika latituder. tabellen kan användas för att ge underfärliga uppskattningar i ordningsstorlek. Exakta mått behöver naturligtvis beräknas mer noggrant.

Tabellen nedan visar vilka avstånd som motsvarar vissa vinkelmått. Eftersom avstånden mellan longitudlinjerna minskar från ekvatorn mot polerna minskar avståndet för en given vinkel i samma riktning. Latitudlinjerna däremot har samma avstånd så att avstånden i N–S riktning inte påverkas.

When trying to understand geographic data it is useful to understand the relationship between global coordinates in degrees, minutes and seconds or decimal degrees and, for example, distance in meters. Unfortunately the relationship is not linear so it is important to obtain a sense of the general relationship. The following table provides a good approximation to the relationship between degree and physical distance in meters at a select latitudes. The table can be used to approximate a conversion using orders of magnitude. Precise measures will of course have to be calculated more carefully.

The table below shows what distances correspond to different angle measures. Because the longitude spacing narrow towards the poles the distance corresponding to a specific angle change from the equator towards the poles. The latitudes are, however, equally spaced and the distances in N–S are therefore not affected.

Grader	Grader Sekunder	Minuter Sekunder	Ö/V: 0° & N/S (m)	Ö/V: 23° (m)	Ö/V: 45° (m)	Ö/V: 67° (m)
1.0	1°0'0''		111 320	102 470	78 710	43 496
0.1	0°6'0''		11 132	10 247	7871	4349.6
0.01	0°0'36''		1113.2	1024.7	787.1	434.96
0.001	0°0'3.6''		111.32	102.47	78.71	43.496
0.0001	0°0'0.36''		11.132	10.247	7.871	4.3496
0.000 01	0°0'0.036''		1.1132	1.0247	0.7871	0.434 96
0.000 001	0°0'0.0036''		0.111 32	0.102 47	0.078 71	0.043 496
0.000 000 1	0°0'0.000 36''		0.011 132	0.010 247	0.007 871	0.004 349 6
0.000 000 01	0°0'0.000 036''		0.001 113 2	0.001 024 7	0.000 787 1	0.000 434 96

References

- Alexanderson H, Bernhardson M. 2016. OSL dating and luminescence characteristics of aeolian deposits and their source material in Dalarna, central Sweden. *Boreas* 45:876–893. doi:10.1111/bor.12197.
- Bouvier V, Johnson MD, Pässe T. 2015. Distribution, genesis and annual-origin of De Geer moraines in Sweden: Insights revealed by LiDAR. *GFF* 137:319–333. doi:10.1080/11035897.2015.1089933.
- Hättestrand C, Kleman J. 1999. Ribbed moraine formation. *Quaternary Science Reviews* 18:43–61. doi:10.1016/S0277-3791(97)00094-2.
- Jansson P. 2018a. Att använda Google Earth Pro/Using Google Earth Pro. Figshare doi:<https://doi.org/10.17045/sthlmuni.7263926.v1>.
- Jansson P. 2018b. Setting up and using QGIS for geomorphological exercises. Figshare doi:<https://doi.org/10.17045/sthlmuni.7263929.v1>.
- Johnson MD, Benediktsson IO, Björklund L. 2013. The Ledsjö end moraine—a subaqueous push moraine composed of glaciomarine clay in central Sweden. *Proceedings of the Geologists' Association* 124:738–752. doi:10.1016/j.pgeola.2012.08.001.
- Johnson MD, Fredin O, Ojala AE, Peterson G. 2015. Unraveling Scandinavian geomorphology: The LiDAR revolution. *GFF* 137:245–251. doi:10.1080/11035897.2015.1111410.
- Klint M. 1959. Svåga älvs meanderlopp. Technical report.
- Kravtsova VI, Rodionova TV. 2016. Methods of permafrost studies: Variations in size and number of thermokarst lakes in different permafrost regions: Spaceborne evidence. *Kriosfera Zemli* 20:75–81.
- Lagerbäck R. 1988. The Veiki moraines in northern Sweden - widespread evidence of an Early Weichselian deglaciation. *Boreas* 17:469–486. doi:10.1111/j.1502-3885.1988.tb00562.x.
- Li J, Dong Z, Qian G, Zhang Z, Luo W, Lu J, Wang M. 2016. Yardangs in the Qaidam Basin, northwestern China: Distribution and morphology. *Aeolian Research* 20:89–99. doi:10.1016/j.aeolia.2015.11.002.
- Lidmar-Bergström K, Olvmo M. 2015. Plains, Steps, Hilly Relief and Valleys in Northern Sweden—Review, Interpretations and Implications for Conclusions on Phanerozoic Tectonics. Number C 838 in Research paper. Uppsala: Sveriges geologiska undersökning.
- Mackay J. 1998. Pingo Growth and collapse, Tuktoyaktuk Peninsula Area, Western Arctic Coast, Canada: A long-term field study. *Géographie physique et Quaternaire* 52:271–323. doi:10.7202/004847ar.
- Matthews JA, Shakesby RA. 1984. The status of the "Little Ice Age" in southern Norway: Relative-age dating of Neoglacial moraines with Schmidt hammer and lichenometry. *Boreas* 13:333–346. doi:10.1111/j.1502-3885.1984.tb01128.x.
- McPherson JG, Shanmugam G, Moiola RJ. 1987. Fan-deltas and braid deltas: Varieties of coarse-grained deltas. *GSA Bulletin* 99:331–340. doi:10.1130/0016-7606(1987)99<331:FABDVO>2.0.CO;2.
- Möller P, Dowling TP. 2016. Streamlined subglacial bedforms on the Närke plain, south-central Sweden – Areal distribution, morphometrics, internal architecture and formation. *Quaternary Science Reviews* 146:182–215. doi:10.1016/j.quascirev.2016.04.007.
- Rudberg S. 1960. Geology and geomorphology. In: E Sømme, editor. *A Geography of Norden: Denmark, Finland, Iceland, Norway and Sweden*. Oslo: J.W. Cappelen. p. 27–80.
- Strudley MW, Murray AB, Haff PK. 2006. Regolith thickness instability and the formation of tors in arid environments. *Journal of Geophysical Research: Earth Surface* 111. doi:10.1029/2005JF000405.
- Sundborg A. 1956. The River Klarälven: A Study of Fluvial Processes. *Geografiska Annaler* 38:125–237. doi:10.2307/520140.
- Twidale CR, Bourne JA. 1975. Episodic exposure of inselbergs. *GSA Bulletin* 86:1473–1481. doi:10.1130/0016-7606(1975)86<1473:EEOI>2.0.CO;2.
- Veremeeva AA, Glushkova NV. 2016. Formation of relief in the regions of ice complex deposits distribution: Remote sensing and GIS studies in the Kolyma lowland. *Kriosfera Zemli* 20:14–24.

- Wakasa S, Matsuzaki H, Tanaka Y, Matsukura Y. 2006. Estimation of episodic exfoliation rates of rock sheets on a granite dome in Korea from cosmogenic nuclide analysis. *Earth Surface Processes and Landforms* 31:1246–1256. doi:10.1002/esp.1328.
- Wartman J, Montgomery DR, Anderson SA, Keaton JR, Benoît J, dela Chapelle J, Gilbert R. 2016. The 22 March 2014 Oso landslide, Washington, USA. *Geomorphology* 253:275–288. doi: 10.1016/j.geomorph.2015.10.022.
- Wiggs GF. 2001. Desert dune processes and dynamics. *Progress in Physical Geography: Earth and Environment* 25:53–79. doi:10.1177/030913330102500103.

Version description

Ver.	Date	Description
1	29th November 2018	First version